

ANNEXE I

Tableau 1.1 : Caractéristiques de l'équipement utilisé pour réaliser les sondages au piézocône

Tableau 1.2 : Lecture des zéros pour les essais au piézocône

Figures 1.1 à 1.33 : Résultats des essais au piézocônes

Tableau 1.1 : Caractéristiques de l'équipement utilisé pour réaliser les essais au piézocône

Sonde : piézocône Hogentogler de 10 tonnes (796TC) avec module de conductivité

Capteur et pesons	Capacité	Précision minimale	Constante (02-06-08)
Résistance de pointe (q_c)	100 MPa	50 kPa ou 1,5 %	1,034-(25,4 kPa)
Frottement latéral (f_s)	1 MPa	1,5 kPa ou 3,5 %	1,04-(0,37 kPa)
Pression interstitielle (u)	3,4 MPa	5 kPa ou 0,5 %	1,0
Conductivité (k)	9 000 mS/m	1,5 mS/m	1,0

Élément poreux

Position : base du cône
 Matériau : plastique
 Épaisseur : 5 mm

liquide de saturation : glycérine
 coefficient de forme (1-a) : 18,6 %

Réducteur de frottement

Position p/r à la pointe du cône : 101 cm Diamètre : 5,44 cm
 Longueur : 35 cm

Tiges de fonçage

Diamètre : 4,44 cm (AW) Longueur : 1,52 cm (5 pieds)

Mode de mesure de la profondeur

Encodeur électrique.

Système de lecture et d'enregistrement des données

Ordinateur Hogentogler et système d'acquisition intégré à même l'ordinateur.

Tableau 1.2 : Lecture des zéros pour les essais au piezocône

N/Dossier: 1050245

Description : Évaluation environnementale, cellules de brasques, usine Alcan Arvida.

<i>essai : cptu-1</i>		
Lecture de zéro (V)		
Paramètre	Initiale	Finale
Résistance en pointe (q_c)	4,75	4,80
Frottement latéral (f_s)	40,4	43,8
Pression interstitielle (u)	-35	-29

<i>essai : cptu-2</i>		
Lecture de zéro (V)		
Paramètre	Initiale	Finale
Résistance en pointe (q_c)	4,81	4,82
Frottement latéral (f_s)	39,8	41,1
Pression interstitielle (u)	-34	-24

<i>essai : cptu-3a</i>		
Lecture de zéro (V)		
Paramètre	Initiale	Finale
Résistance en pointe (q_c)	4,82	4,85
Frottement latéral (f_s)	40,6	40,7
Pression interstitielle (u)	-33	-34

<i>essai : cptu-4</i>		
Lecture de zéro (V)		
Paramètre	Initiale	Finale
Résistance en pointe (q_c)	4,78	4,83
Frottement latéral (f_s)	42,1	43,3
Pression interstitielle (u)	-32	-31

<i>essai : cptu-5</i>		
Lecture de zéro (V)		
Paramètre	Initiale	Finale
Résistance en pointe (q_c)	4,76	4,84
Frottement latéral (f_s)	41,1	42,8
Pression interstitielle (u)	-31	-29

<i>essai : cptu-6a</i>		
Lecture de zéro (V)		
Paramètre	Initiale	Finale
Résistance en pointe (q_c)	4,68	4,71
Frottement latéral (f_s)	49,4	48,8
Pression interstitielle (u)	-33	-28

<i>essai : cptu-7b</i>		
Lecture de zéro (V)		
Paramètre	Initiale	Finale
Résistance en pointe (q_c)	4,70	4,70
Frottement latéral (f_s)	47,3	48,2
Pression interstitielle (u)	-30	-33

Responsable : Marc Munger, B. Sc.

1050245

2003-03-10

Tableau 1.2 (suite) : Lecture des zéros pour les essais au piezocône

N/Dossier: 1050245

Description : Évaluation environnementale, cellules de brasques, usine Alcan Arvida.

<i>essai : cptu-8</i>		
Lecture de zéro (V)		
Paramètre	Initiale	Finale
Résistance en pointe (q_c)	4,74	4,76
Frottement latéral (f_s)	46,6	47,5
Pression interstitielle (u)	-24	-28

<i>essai : cptu-9</i>		
Lecture de zéro (V)		
Paramètre	Initiale	Finale
Résistance en pointe (q_c)	4,67	40,70
Frottement latéral (f_s)	49,6	50,0
Pression interstitielle (u)	-35	-33

<i>essai : cptu-10</i>		
Lecture de zéro (V)		
Paramètre	Initiale	Finale
Résistance en pointe (q_c)	4,70	4,73
Frottement latéral (f_s)	47,0	49,6
Pression interstitielle (u)	-23	-28

<i>essai : cptu-11</i>		
Lecture de zéro (V)		
Paramètre	Initiale	Finale
Résistance en pointe (q_c)	4,72	4,73
Frottement latéral (f_s)	49,8	49,3
Pression interstitielle (u)	-29	-41

<i>essai : cptu-12</i>		
Lecture de zéro (V)		
Paramètre	Initiale	Finale
Résistance en pointe (q_c)	4,69	4,71
Frottement latéral (f_s)	47,9	48,5
Pression interstitielle (u)	-32	-32

<i>essai : cptu-13</i>		
Lecture de zéro (V)		
Paramètre	Initiale	Finale
Résistance en pointe (q_c)	4,69	4,73
Frottement latéral (f_s)	48,1	48,9
Pression interstitielle (u)	-26	-29

<i>essai : cptu-14</i>		
Lecture de zéro (V)		
Paramètre	Initiale	Finale
Résistance en pointe (q_c)	4,69	4,79
Frottement latéral (f_s)	47,9	48,6
Pression interstitielle (u)	-32	-26

Responsable : Marc Munger, B. Sc.

Tableau 1.2 (suite) : Lecture des zéros pour les essais au piezocône

N/Dossier: 1050245

Description : Évaluation environnementale, cellules de brasques, usine Alcan Arvida.

<i>essai : cptu-15a</i>		
Lecture de zéro (V)		
Paramètre	Initiale	Finale
Résistance en pointe (q_c)	4,7	4,71
Frottement latéral (f_s)	49,1	48,2
Pression interstitielle (u)	-28	-43

<i>essai : cptu-16</i>		
Lecture de zéro (V)		
Paramètre	Initiale	Finale
Résistance en pointe (q_c)	4,68	4,69
Frottement latéral (f_s)	43,7	41,8
Pression interstitielle (u)	-20	-32

<i>essai : cptu-17</i>		
Lecture de zéro (V)		
Paramètre	Initiale	Finale
Résistance en pointe (q_c)	4,72	4,69
Frottement latéral (f_s)	44,6	43,1
Pression interstitielle (u)	-28	-38

<i>essai : cptu-18</i>		
Lecture de zéro (V)		
Paramètre	Initiale	Finale
Résistance en pointe (q_c)	4,75	4,72
Frottement latéral (f_s)	58,8	42,7
Pression interstitielle (u)	-31	-32

<i>essai : cptu-19</i>		
Lecture de zéro (V)		
Paramètre	Initiale	Finale
Résistance en pointe (q_c)	4,58	4,61
Frottement latéral (f_s)	40,8	41,1
Pression interstitielle (u)	-39	-26

<i>essai : cptu-20</i>		
Lecture de zéro (V)		
Paramètre	Initiale	Finale
Résistance en pointe (q_c)	4,59	4,57
Frottement latéral (f_s)	40,7	40,9
Pression interstitielle (u)	-34	-34

<i>essai : cptu-21</i>		
Lecture de zéro (V)		
Paramètre	Initiale	Finale
Résistance en pointe (q_c)	4,58	4,60
Frottement latéral (f_s)	41,6	41,1
Pression interstitielle (u)	-34	-33

Responsable : Marc Munger, B. Sc.

Tableau 1.2 (suite) : Lecture des zéros pour les essais au piezocône

N/Dossier: 1050245

Description : Évaluation environnementale, cellules de brasques, usine Alcan Arvida.

Paramètre	Lecture de zéro (V)	
	Initiale	Finale
Résistance en pointe (q_c)	4,59	4,63
Frottement latéral (f_s)	39,7	41,1
Pression interstitielle (u)	-31	-36

Paramètre	Lecture de zéro (V)	
	Initiale	Finale
Résistance en pointe (q_c)	4,60	4,64
Frottement latéral (f_s)	38,2	39,4
Pression interstitielle (u)	-33	-41

Paramètre	Lecture de zéro (V)	
	Initiale	Finale
Résistance en pointe (q_c)	4,60	4,64
Frottement latéral (f_s)	39,3	39,0
Pression interstitielle (u)	-35	-32

Paramètre	Lecture de zéro (V)	
	Initiale	Finale
Résistance en pointe (q_c)	4,62	4,64
Frottement latéral (f_s)	41,6	41,6
Pression interstitielle (u)	-37	-34

Paramètre	Lecture de zéro (V)	
	Initiale	Finale
Résistance en pointe (q_c)	4,65	4,7
Frottement latéral (f_s)	41,4	39,6
Pression interstitielle (u)	-33	-34

Paramètre	Lecture de zéro (V)	
	Initiale	Finale
Résistance en pointe (q_c)	4,64	4,67
Frottement latéral (f_s)	40,5	41,1
Pression interstitielle (u)	-35	-34

Paramètre	Lecture de zéro (V)	
	Initiale	Finale
Résistance en pointe (q_c)	4,61	4,65
Frottement latéral (f_s)	40,2	40,6
Pression interstitielle (u)	-39	-34

Responsable : Marc Munger, B. Sc.

Tableau 1.2 (suite) : Lecture des zéros pour les essais au piezocône

N/Dossier: 1050245

Description : Évaluation environnementale, cellules de brasques, usine Alcan Arvida.

Paramètre	Lecture de zéro (V)	
	Initiale	Finale
Résistance en pointe (q_c)	4,65	4,67
Frottement latéral (f_s)	40,6	41,0
Pression interstitielle (u)	-34	-29

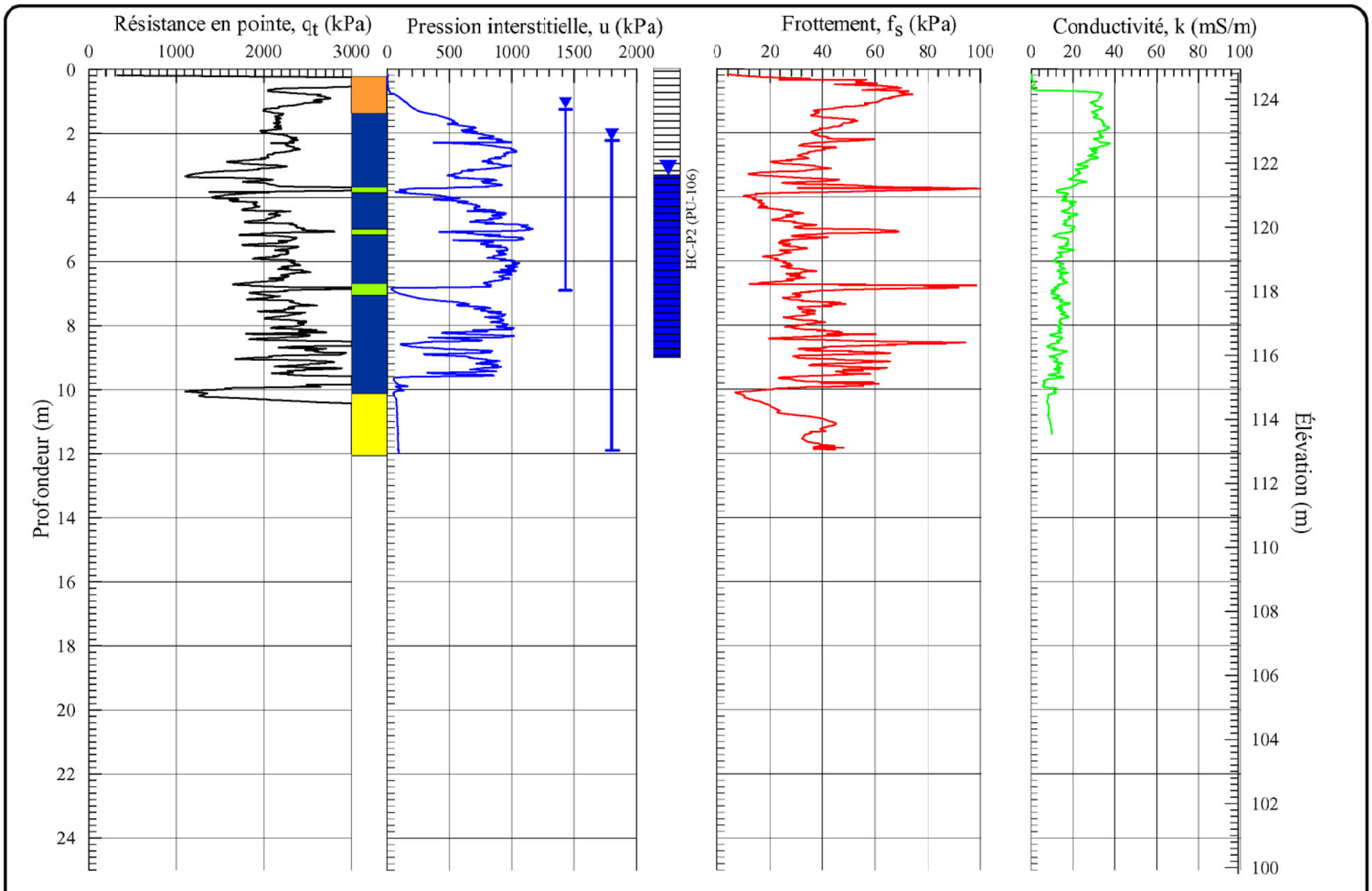
Paramètre	Lecture de zéro (V)	
	Initiale	Finale
Résistance en pointe (q_c)	4,66	4,62
Frottement latéral (f_s)	41,4	42,4
Pression interstitielle (u)	-34	-31

Paramètre	Lecture de zéro (V)	
	Initiale	Finale
Résistance en pointe (q_c)	4,67	4,67
Frottement latéral (f_s)	41,6	42,3
Pression interstitielle (u)	-27	-33

Paramètre	Lecture de zéro (V)	
	Initiale	Finale
Résistance en pointe (q_c)	4,65	4,66
Frottement latéral (f_s)	42,6	42,6
Pression interstitielle (u)	-34	-34

Paramètre	Lecture de zéro (V)	
	Initiale	Finale
Résistance en pointe (q_c)	4,65	4,67
Frottement latéral (f_s)	42,1	43,1
Pression interstitielle (u)	-34	-40

Responsable : Marc Munger, B. Sc.



Profondeur initiale : 0,18 m
 Profondeur finale : 11,99 m
 Vitesse de fonçage : 60 cm/min
 Incrément de mesure : 1,0 cm
 Piézocône : 796TC

Projet:

Étude de caractérisation environnementale,
cellules de brasques.

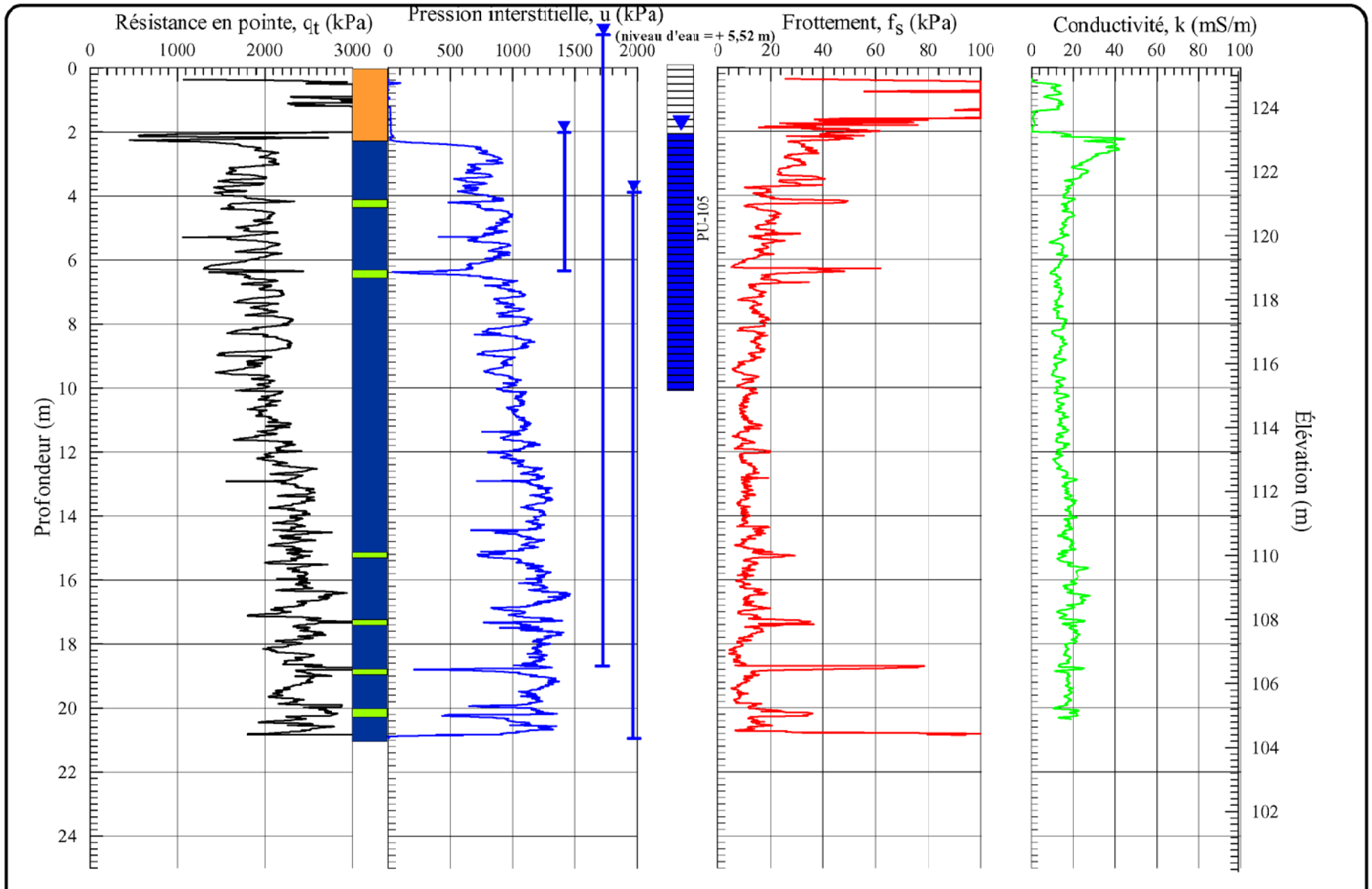
Dossier no: 1050245

RAPPORT DE PIÉZOCÔNE

Réalisé par:
 Marc Munger, B.ing.
 Date: 2002-10-21

Sondage no: **cptu-1**

Figure: **1.1**



Profondeur initiale : 0,36 m
 Profondeur finale : 20,95 m
 Vitesse de fonçage : 60 cm/min
 Incrément de mesure : 1,0 cm
 Piézocône : 796TC

Projet:

Étude de caractérisation environnementale,
cellules de brasques.

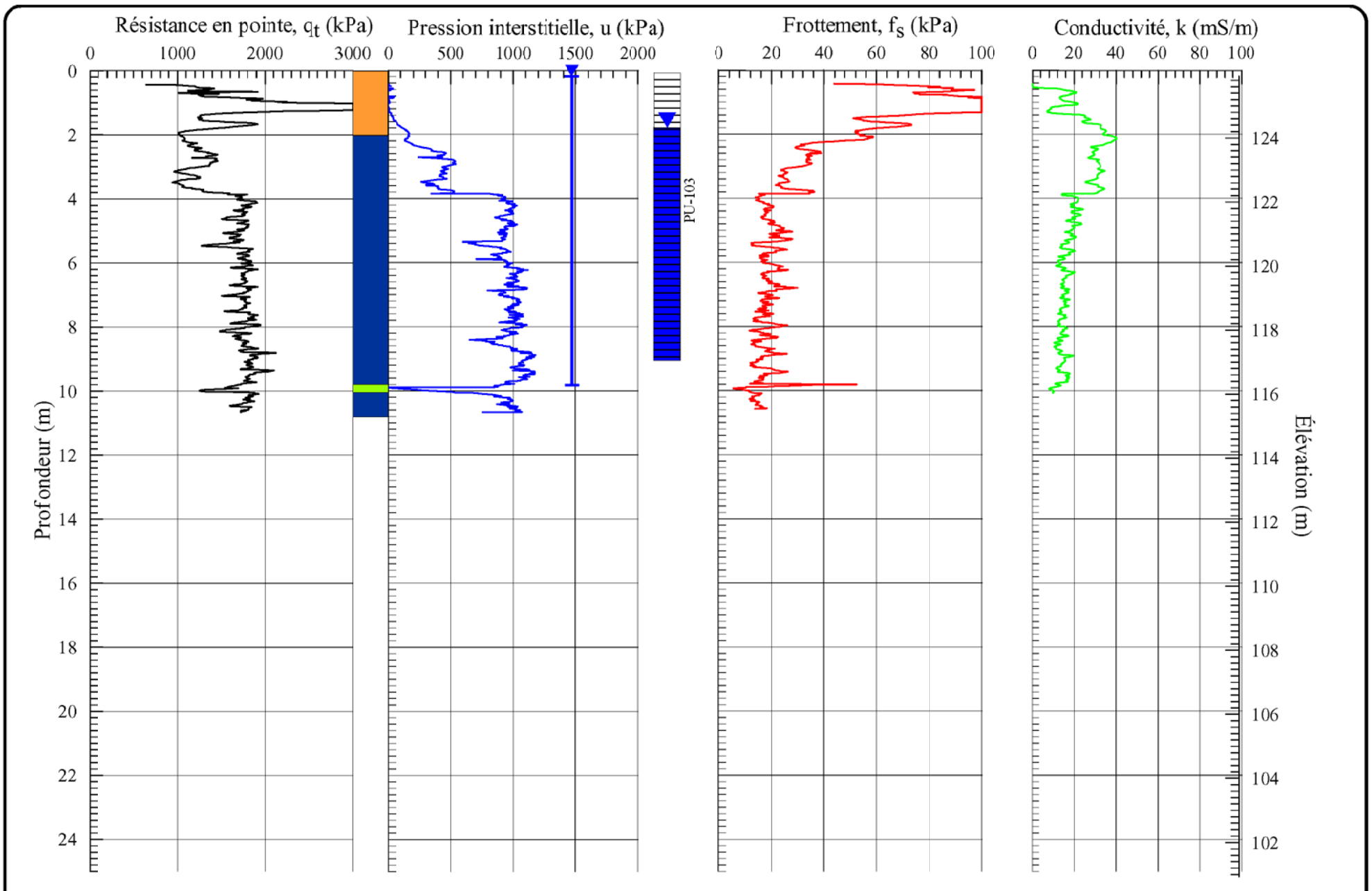
Dossier no: 1050245

RAPPORT DE PIÉZOCÔNE

Réalisé par:
 Marc Munger, B.ing.
 Date: 2002-10-11

Sondage no: **cptu-2**

Figure: **1.2**



Profondeur initiale : 0,43m
 Profondeur finale : 10,67 m
 Vitesse de fonçage : 60 cm/min
 Incrément de mesure : 1,0 cm
 Piézocône : 796TC

Projet: Étude de caractérisation environnementale,
 cellules de brasques.

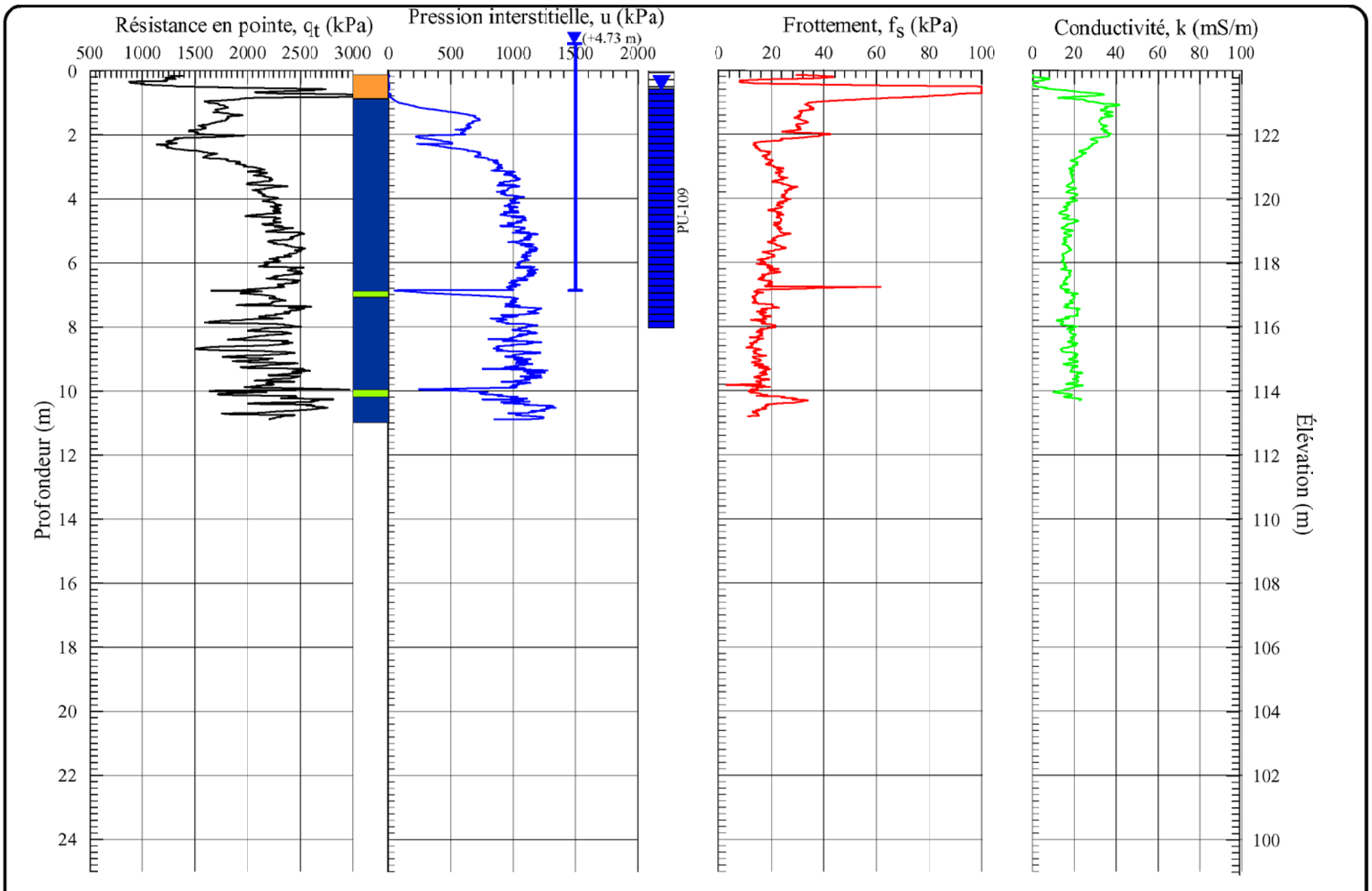
Dossier no: 1050245

RAPPORT DE PIÉZOCÔNE

Réalisé par:
 Marc Munger, B.ing.
 Date: 2002-10-11

Sondage no: **cptu-3**

Figure: **1.3**



Profondeur initiale : 0,15 m
 Profondeur finale : 10,90 m
 Vitesse de fonçage : 60 cm/min
 Incrément de mesure : 1,0 cm
 Piézocône : 796TC

Projet: Étude de caractérisation environnementale,
 cellules de brasques.

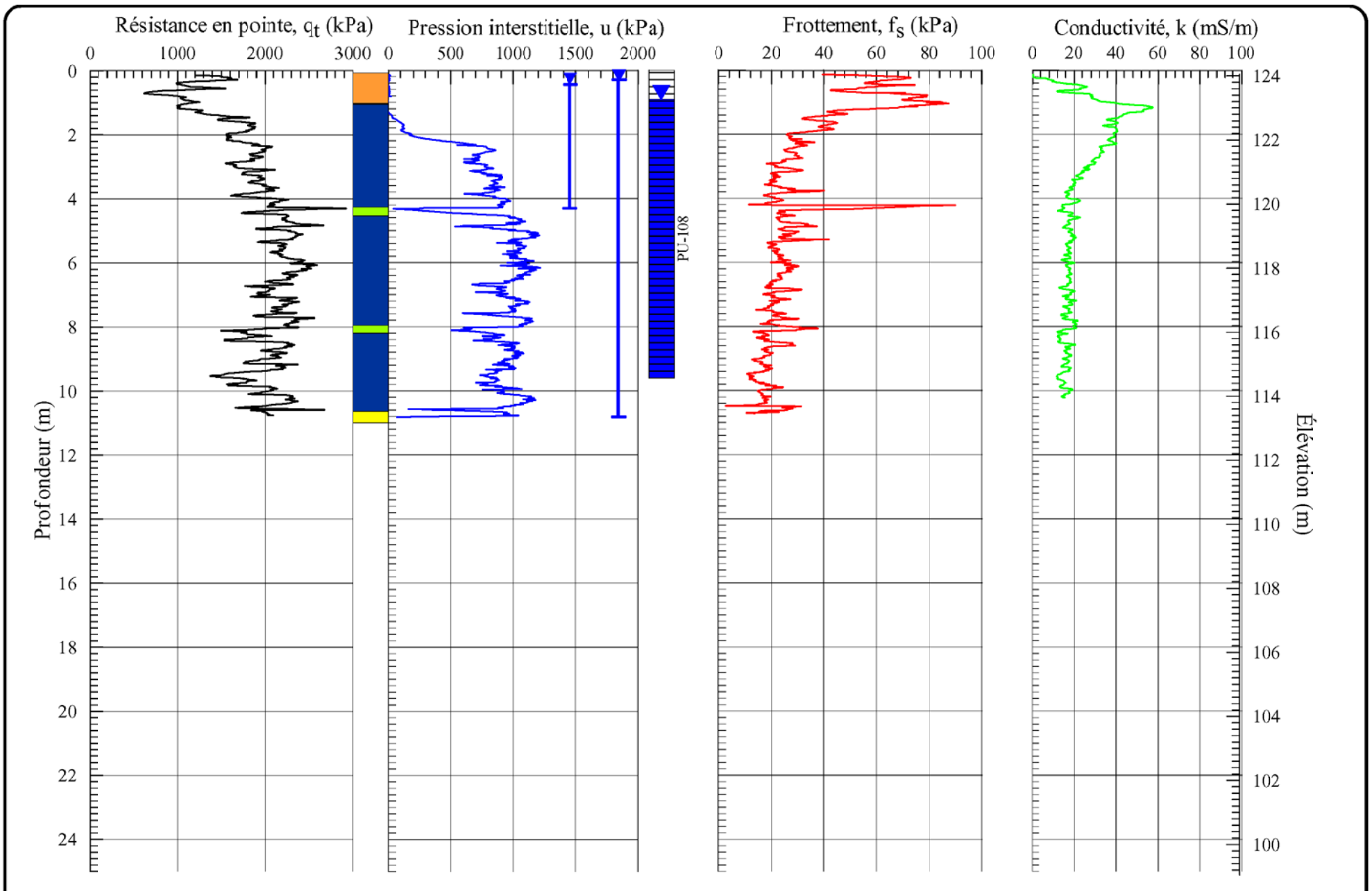
Dossier no: 1050245

RAPPORT DE PIÉZOCÔNE

Réalisé par:
 Marc Munger, B.ing.
 Date: 2002-10-21

Sondage no: **cptu-4**

Figure: **1.4**



Profondeur initiale : 0,14 m
 Profondeur finale : 10,82 m
 Vitesse de fonçage : 60 cm/min
 Incrément de mesure : 1,0 cm
 Piézocône : 796TC

Projet: Étude de caractérisation environnementale,
 cellules de brasques.

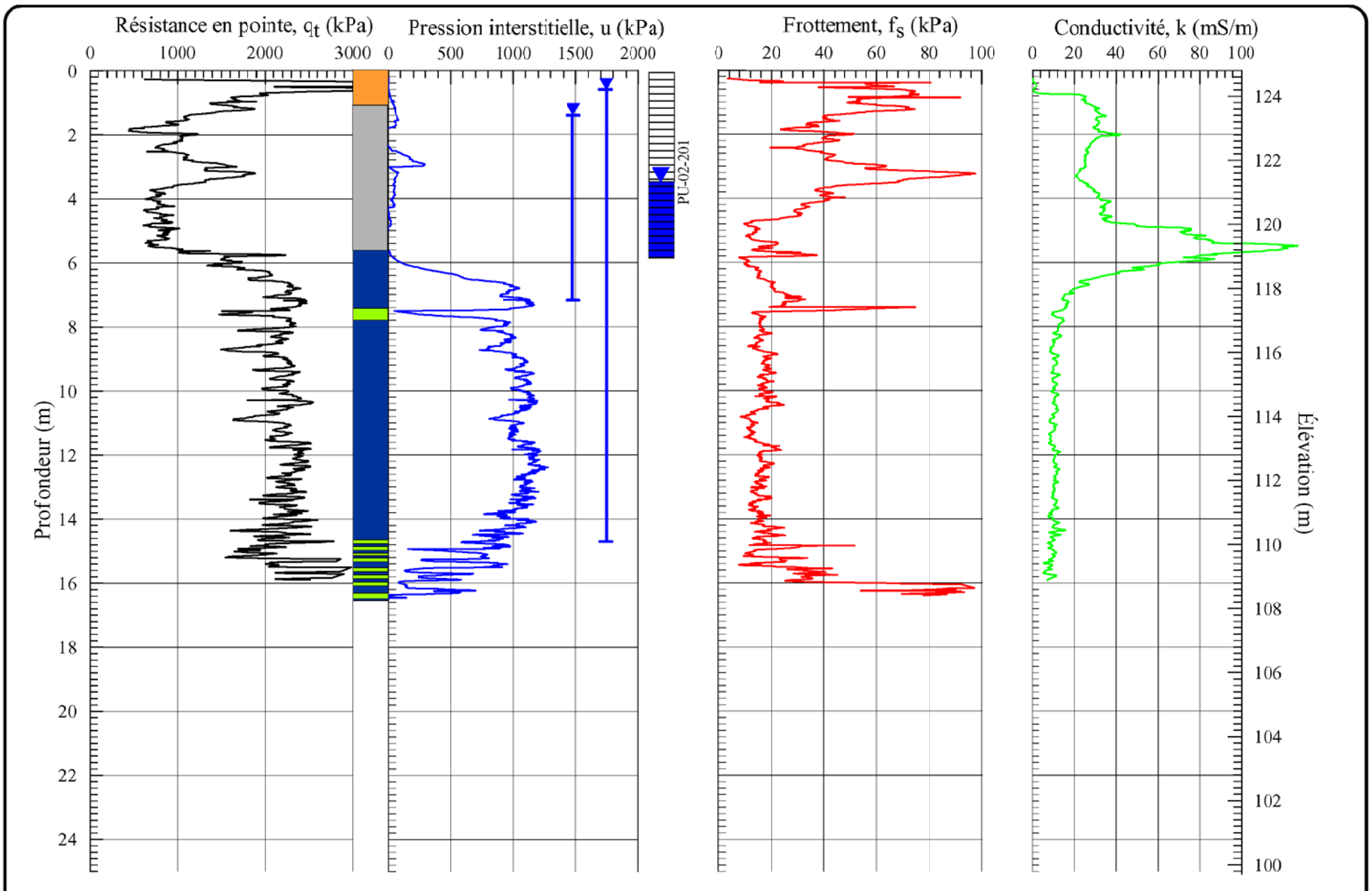
Dossier no: 1050245

RAPPORT DE PIÉZOCÔNE

Réalisé par:
 Marc Munger, B.ing.
 Date: 2002-10-23

Sondage no: **cptu-5**

Figure: **1.5**



Profondeur initiale : 0,26 m
 Profondeur finale : 16,52 m
 Vitesse de fonçage : 60 cm/min
 Incrément de mesure : 1,0 cm
 Piézocône : 796TC

Proj et: Étude de caractérisation environnementale,
 cellules de brasques.

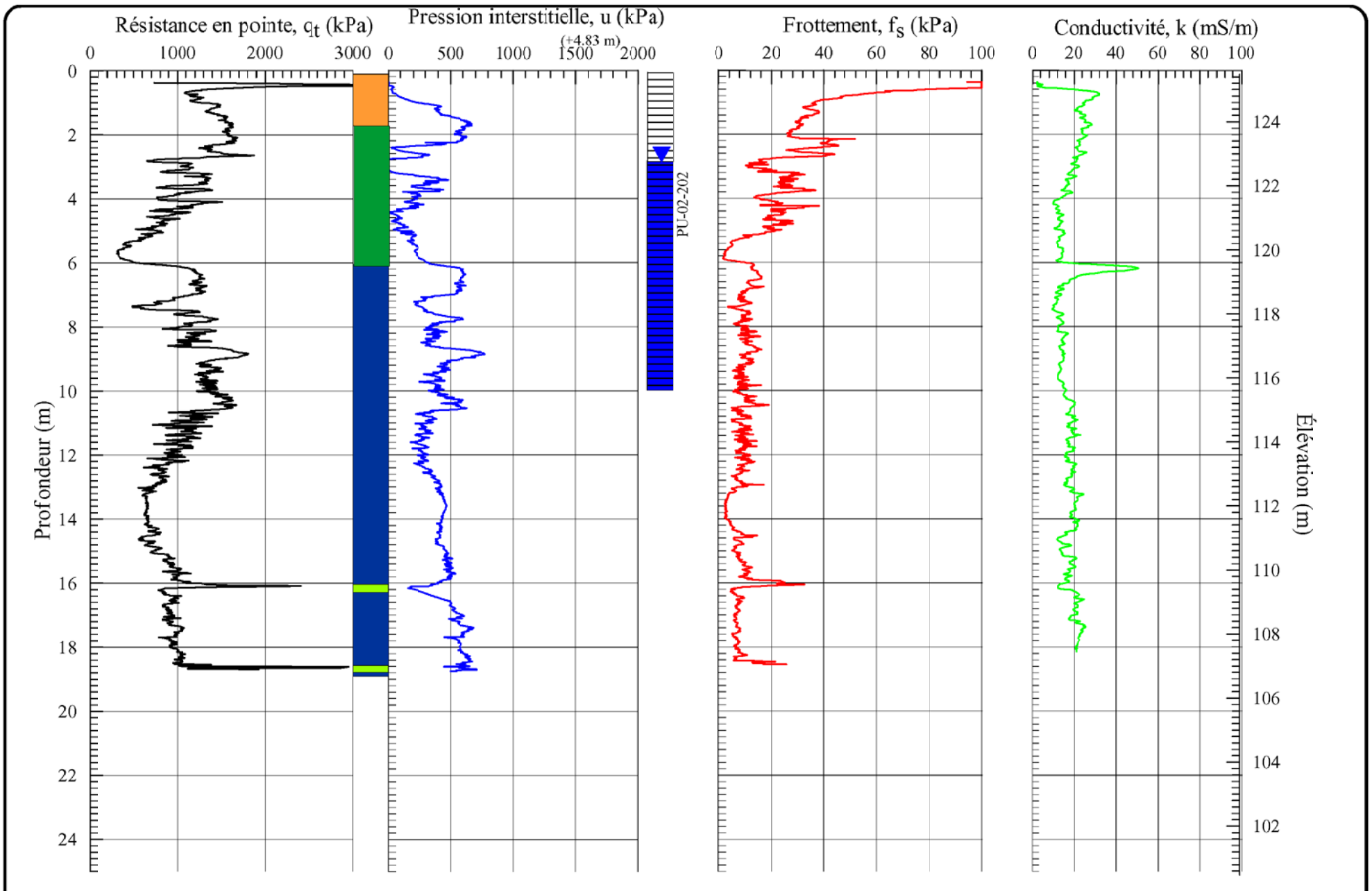
Dossier no: 1050245

RAPPORT DE PIÉZOCÔNE

Réalisé par:
 Marc Munger, B.ing.
 Date: 2002-10-23

Sondage no: **cptu-6a**

Figure: **1.6a**



Profondeur initiale : 0,37 m
 Profondeur finale : 18,75 m
 Vitesse de fonçage : 60 cm/min
 Incrément de mesure : 1,0 cm
 Piézocône : 796TC

Projet: Étude de caractérisation environnementale,
 cellules de brasques.

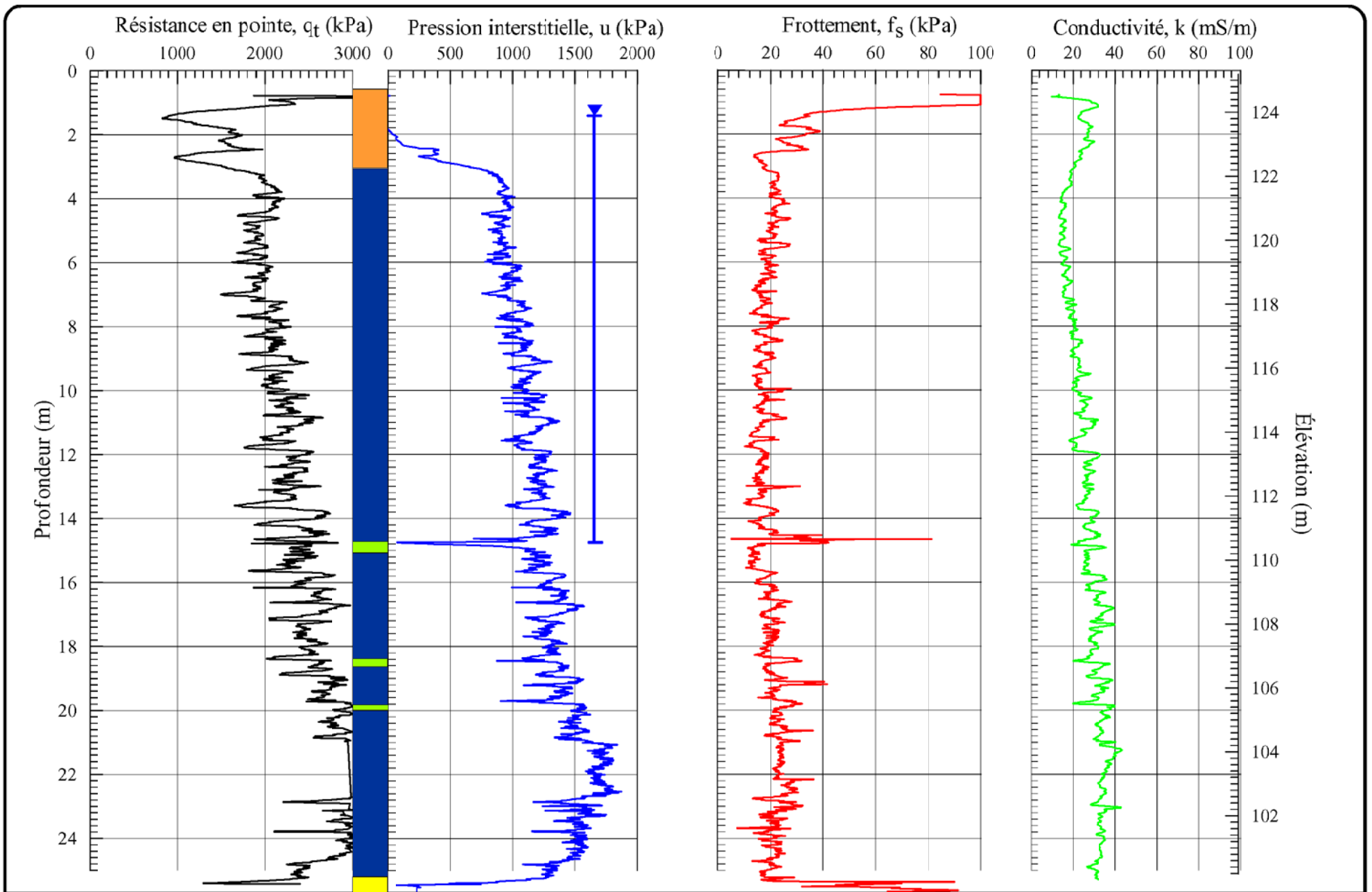
Dossier no: 1050245

RAPPORT DE PIÉZOCÔNE

Réalisé par:
 Marc Munger, B.ing.
 Date: 2002-10-23

Sondage no: **cptu-7b**

Figure: **1.7b**



Profondeur initiale : 0,77 m
 Profondeur finale : 25,88 m
 Vitesse de fonçage : 60 cm/min
 Incrément de mesure : 1,0 cm
 Piézocône : 796TC

Projet:

Étude de caractérisation environnementale,
cellules de brasques.

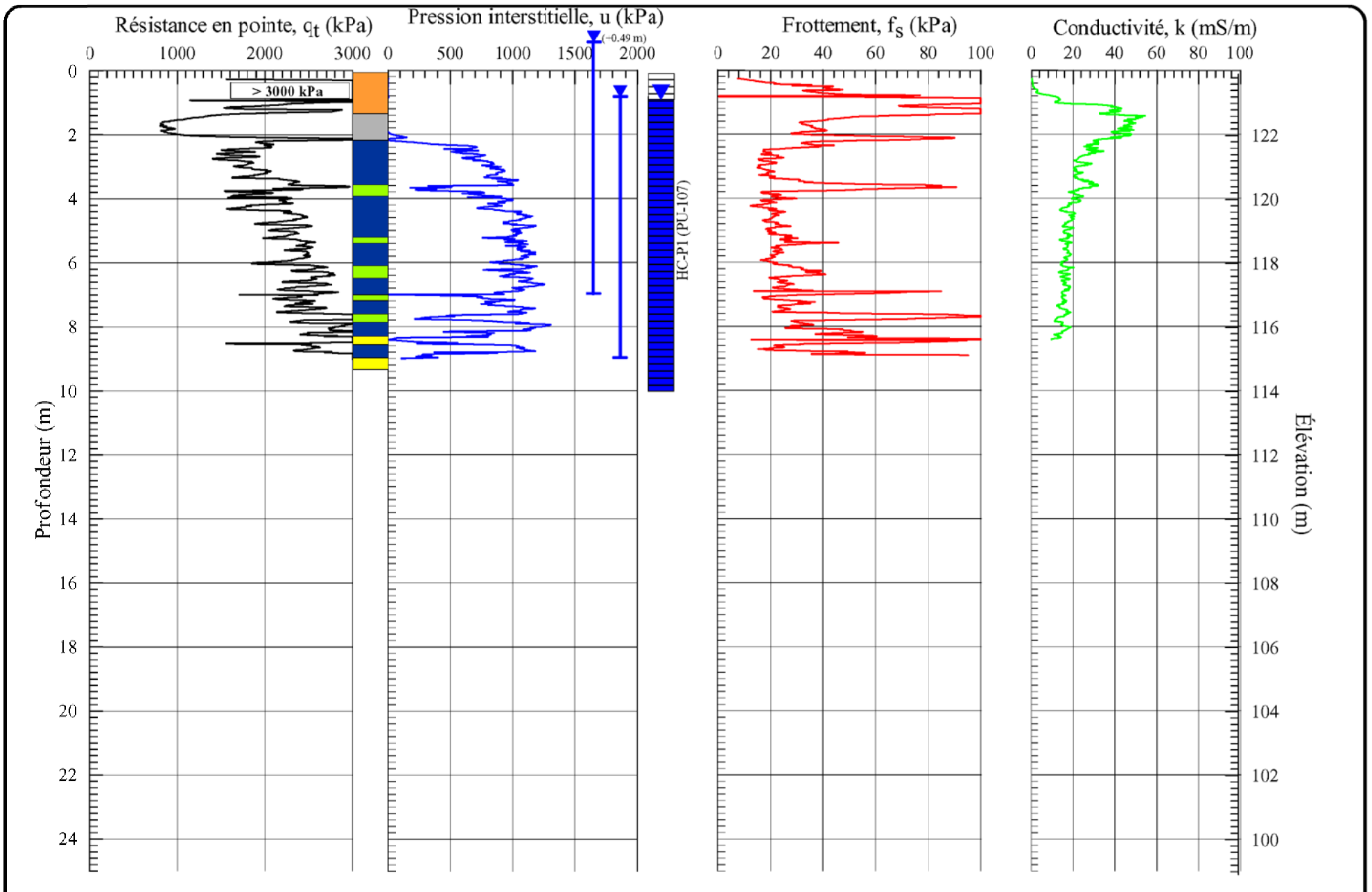
Dossier no: 1050245

RAPPORT DE PIÉZOCÔNE

Réalisé par:
 Marc Munger, B.ing.
 Date: 2002-10-23

Sondage no: **cptu-8**

Figure: **1.8**



Profondeur initiale : 0,26 m
 Profondeur finale : 9,01 m
 Vitesse de fonçage : 60 cm/min
 Incrément de mesure : 1,0 cm
 Piézocône : 796TC

Projet: Étude de caractérisation environnementale,
 cellules de brasques.

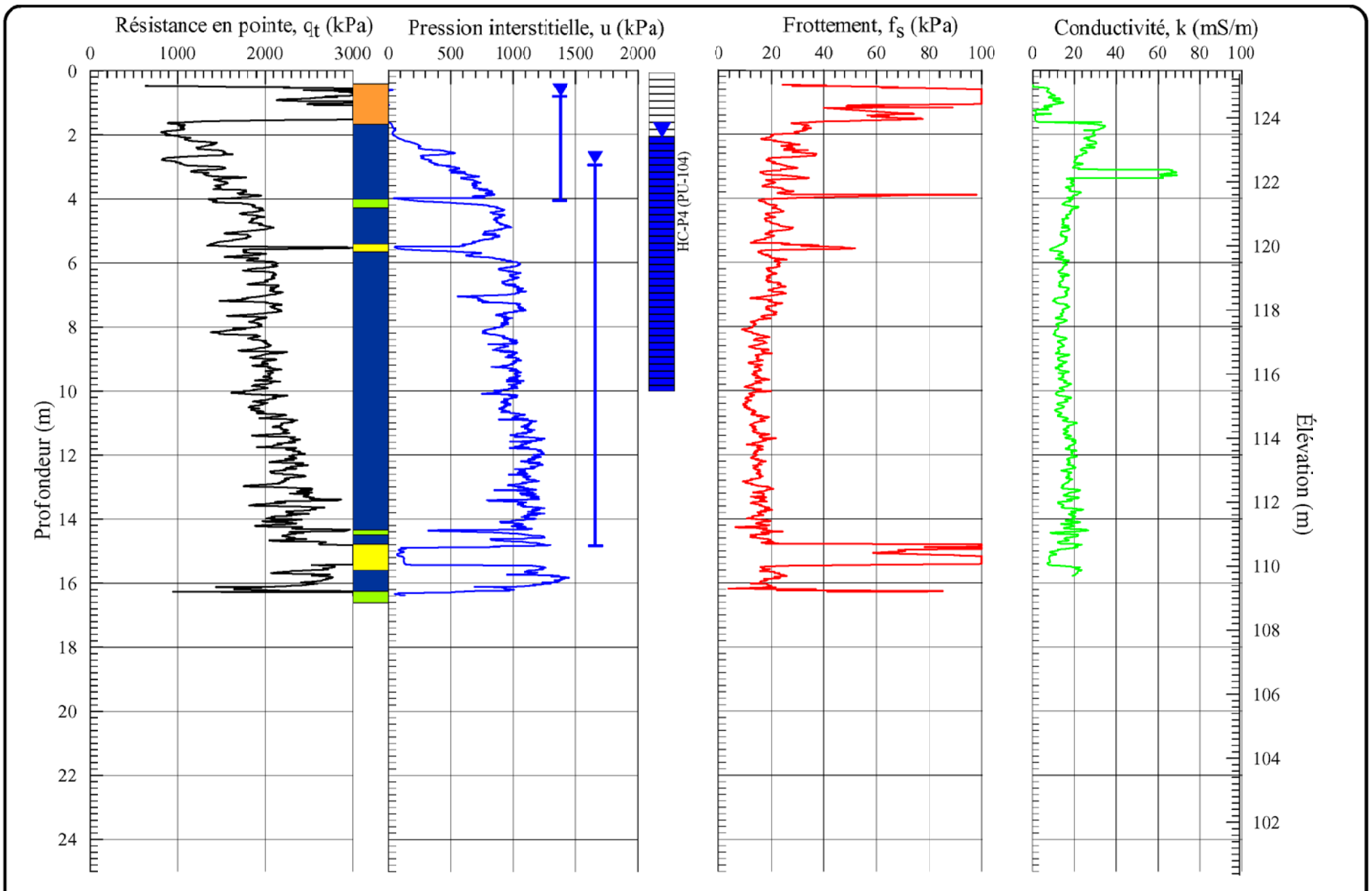
Dossier no: 1050245

RAPPORT DE PIÉZOCÔNE

Réalisé par:
 Marc Munger, B.ing.
 Date: 2002-10-23

Sondage no: **cptu-9**

Figure: **1.9**



Profondeur initiale : 0,46 m
 Profondeur finale : 16,38 m
 Vitesse de fonçage : 60 cm/min
 Incrément de mesure : 1,0 cm
 Piézocône : 796TC

Proj et: Étude de caractérisation environnementale,
 cellules de brasques.

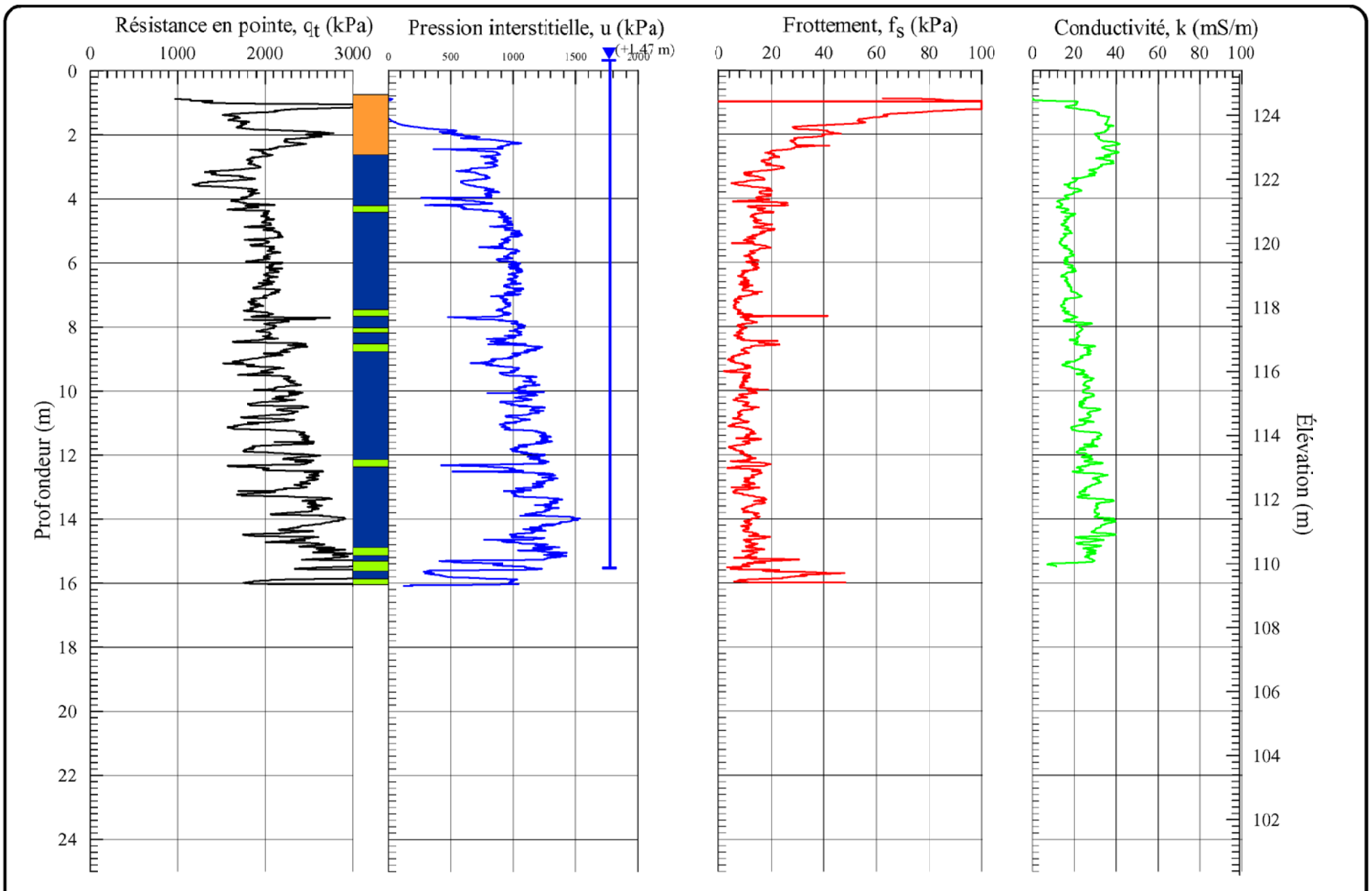
Dossier no: 1050245

RAPPORT DE PIÉZOCÔNE

Réalisé par:
 Marc Munger, B.ing.
 Date: 2002-10-23

Sondage no: **cptu-10**

Figure: **1.10**



Profondeur initiale : 0,88 m
 Profondeur finale : 16,09 m
 Vitesse de fonçage : 60 cm/min
 Incrément de mesure : 1,0 cm
 Piézocône : 796TC

Projet: Étude de caractérisation environnementale,
 cellules de brasques.

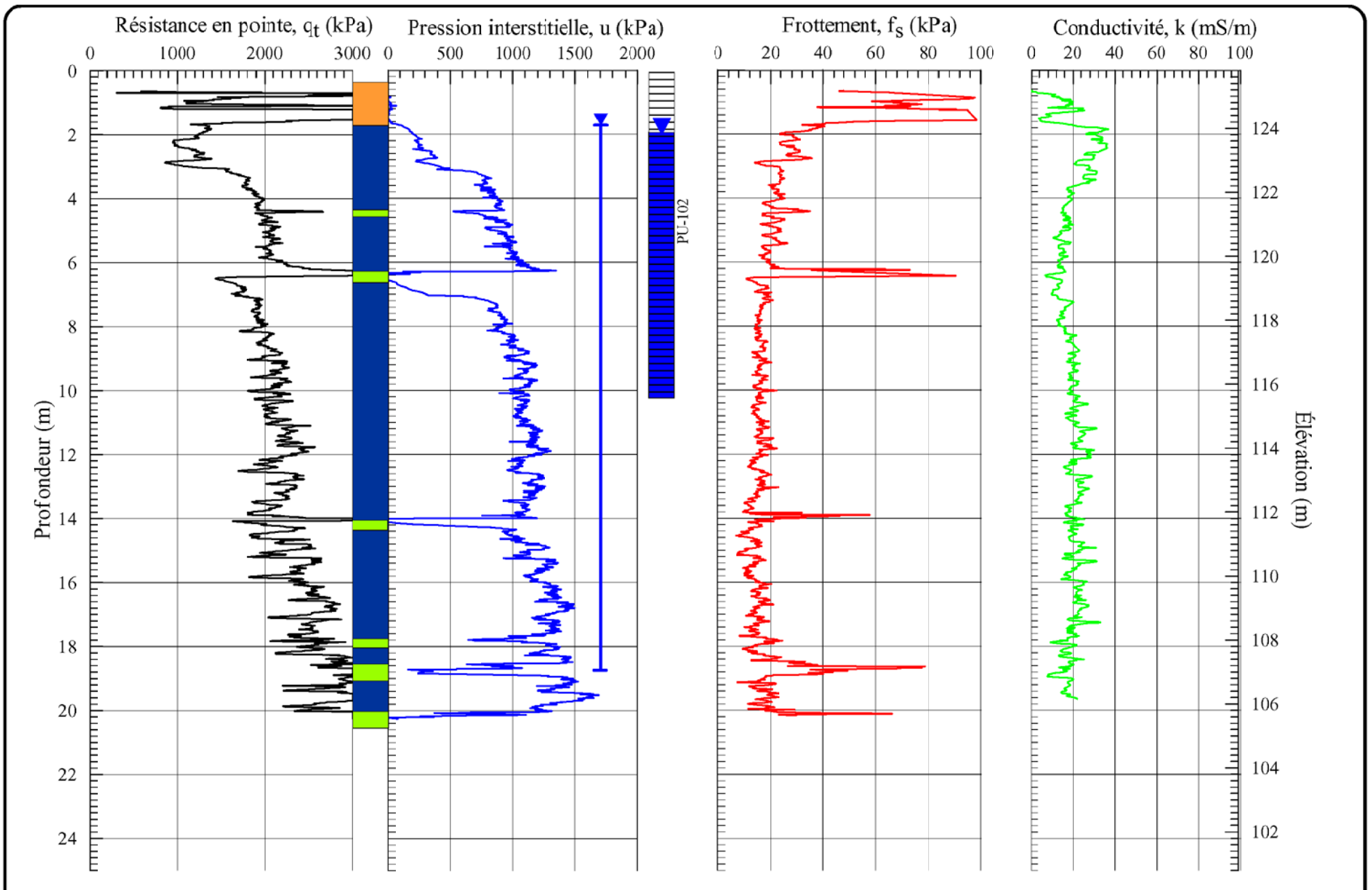
Dossier no: 1050245

RAPPORT DE PIÉZOCÔNE

Réalisé par:
 Marc Munger, B.ing.
 Date: 2002-10-23

Sondage no: **cptu-11**

Figure: **1.11**



Profondeur initiale : 0,64 m
 Profondeur finale : 20,26 m
 Vitesse de fonçage : 60 cm/min
 Incrément de mesure : 1,0 cm
 Piézocône : 796TC

Proj: Étude de caractérisation environnementale,
 cellules de brasques.

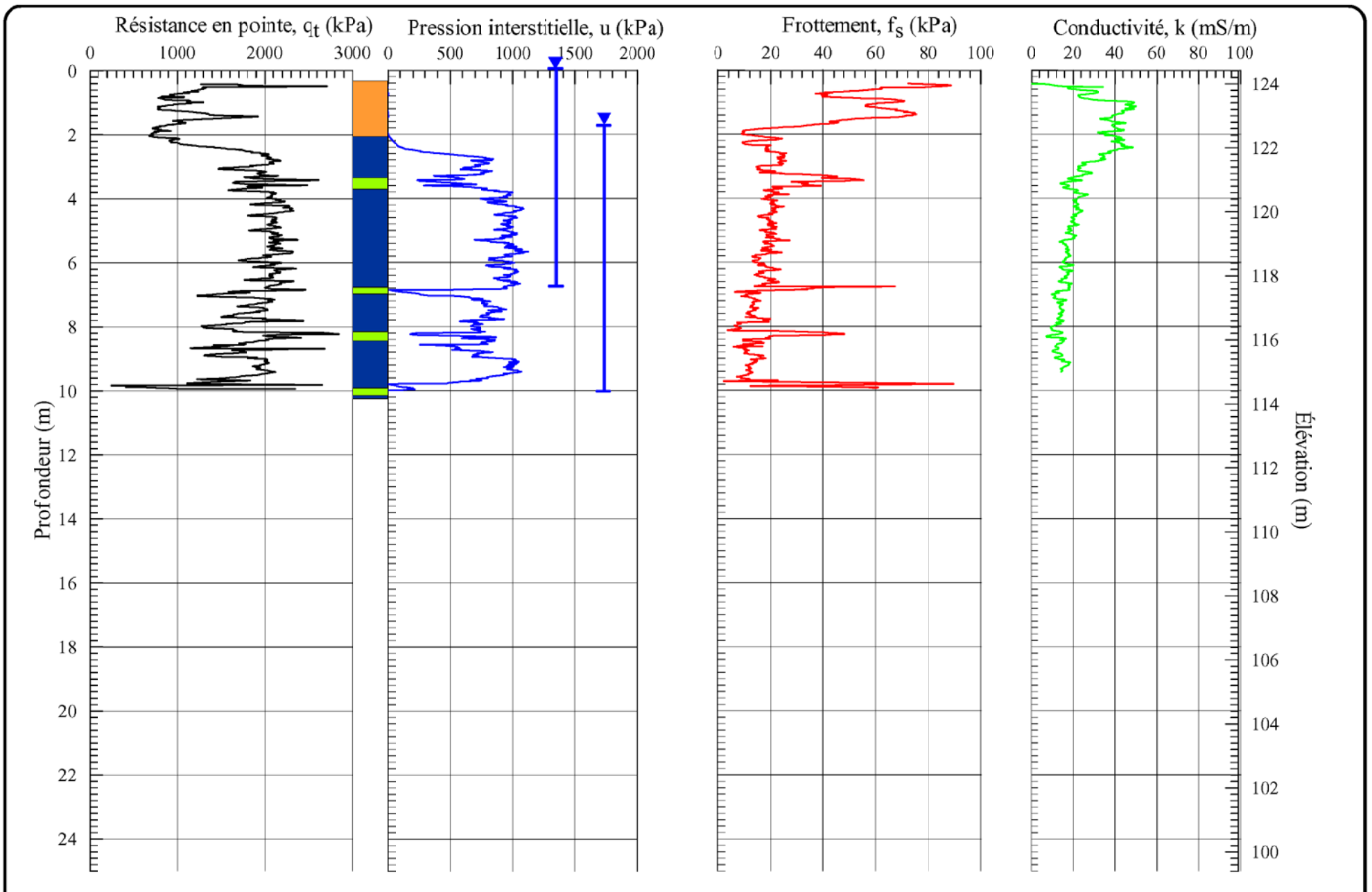
Dossier no: 1050245

RAPPORT DE PIÉZOCÔNE

Réalisé par:
 Marc Munger, B.ing.
 Date: 2002-10-23

Sondage no: **cptu-12**

Figure: **1.12**



Profondeur initiale : 0,42 m
 Profondeur finale : 10,03 m
 Vitesse de fonçage : 60 cm/min
 Incrément de mesure : 1,0 cm
 Piézocône : 796TC

Projet:

Étude de caractérisation environnementale,
cellules de brasques.

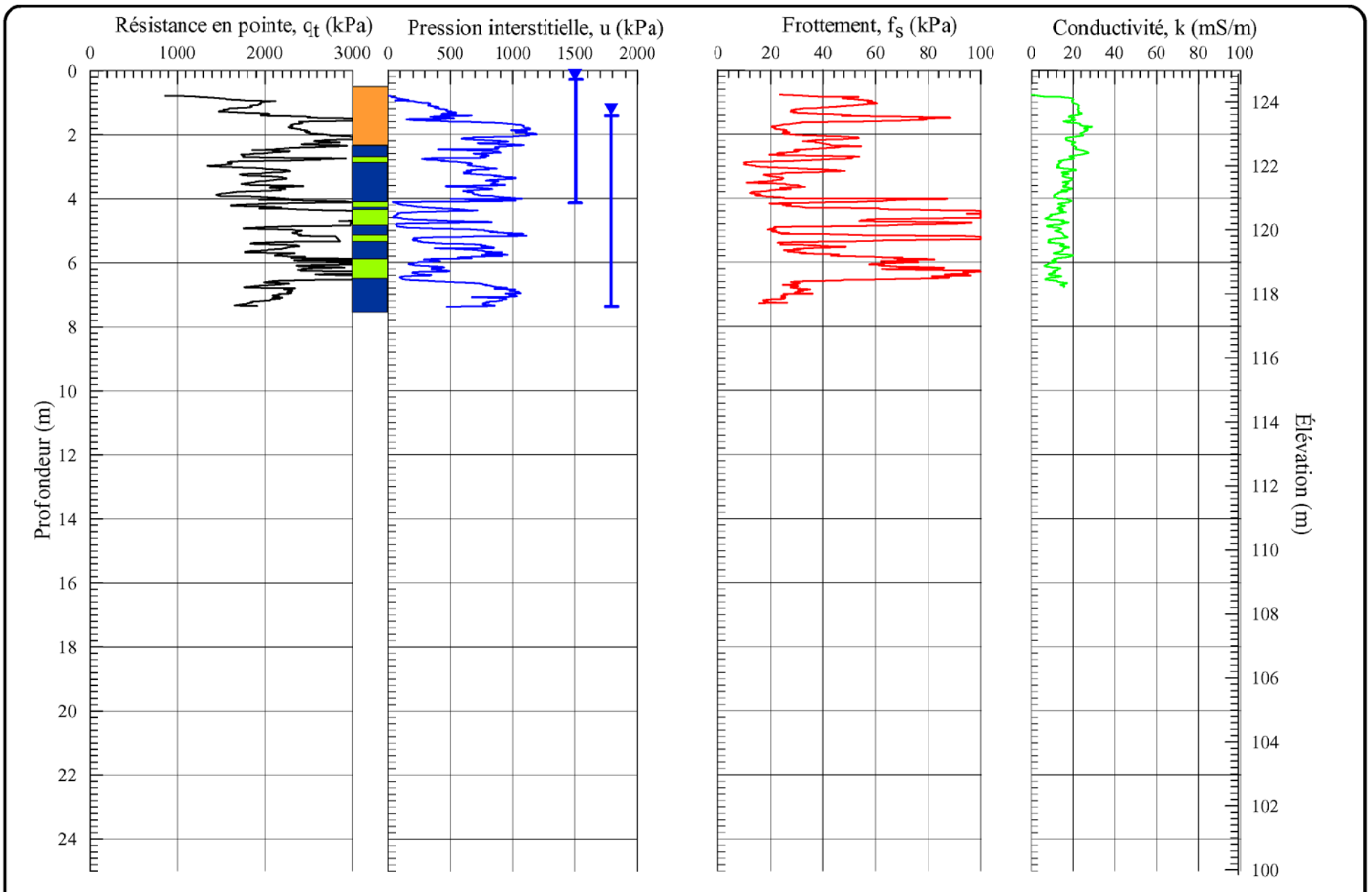
Dossier no: 1050245

RAPPORT DE PIÉZOCÔNE

Réalisé par:
 Marc Munger, B.ing.
 Date: 2002-10-24

Sondage no: **cptu-13**

Figure: **1.13**



Profondeur initiale : 0,77 m
 Profondeur finale : 7,39m
 Vitesse de fonçage : 60 cm/min
 Incrément de mesure : 1,0 cm
 Piézocône : 796TC

Projet: Étude de caractérisation environnementale,
 cellules de brasques.

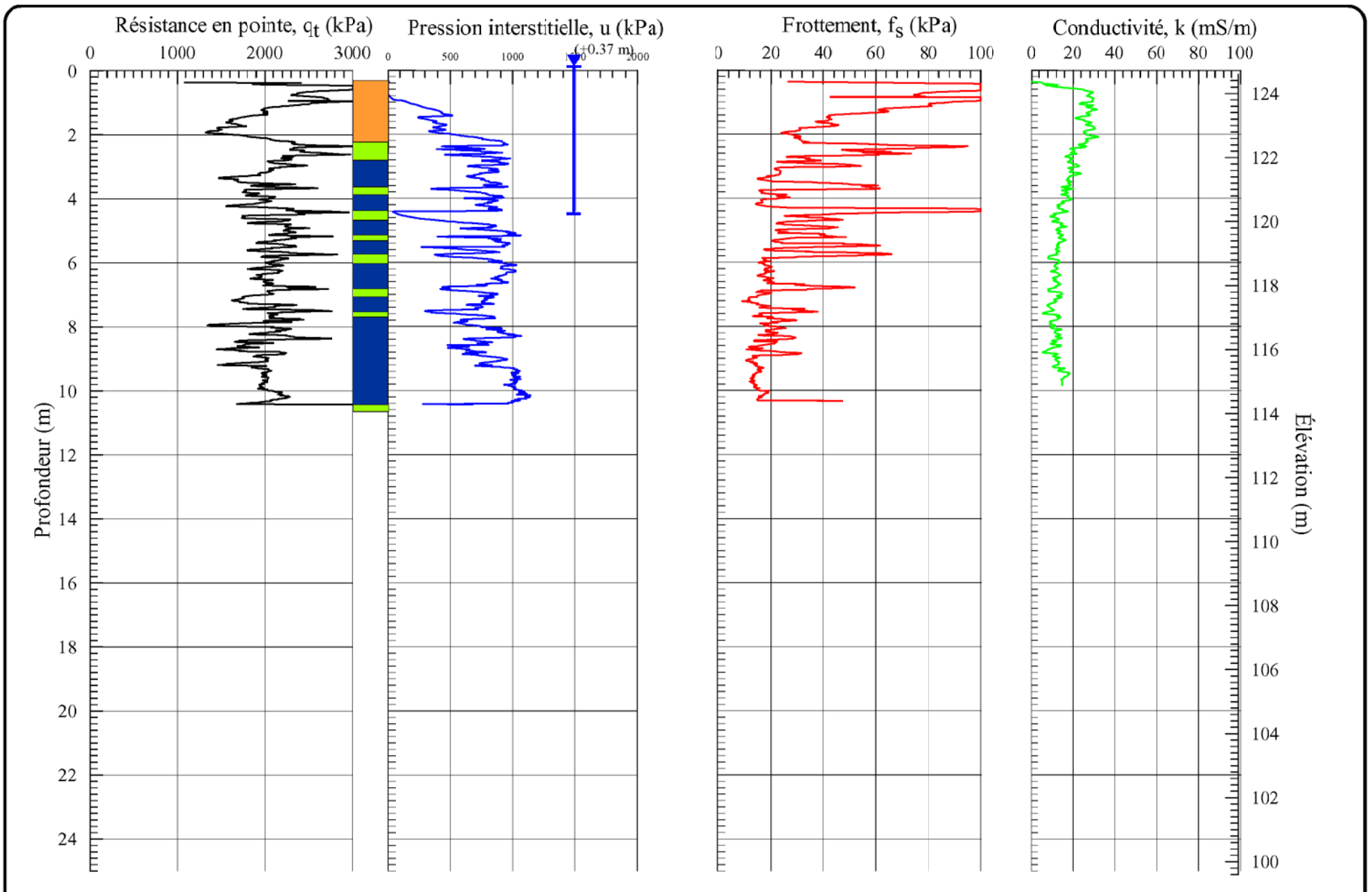
Dossier no: 1050245

RAPPORT DE PIÉZOCÔNE

Réalisé par:
 Marc Munger, B.ing.
 Date: 2002-10-24

Sondage no: **cptu-14**

Figure: **1.14**



Profondeur initiale : 0,36 m
 Profondeur finale : 10,44 m
 Vitesse de fonçage : 60 cm/min
 Incrément de mesure : 1,0 cm
 Piézocône : 796TC

Projet:

Étude de caractérisation environnementale,
cellules de brasques.

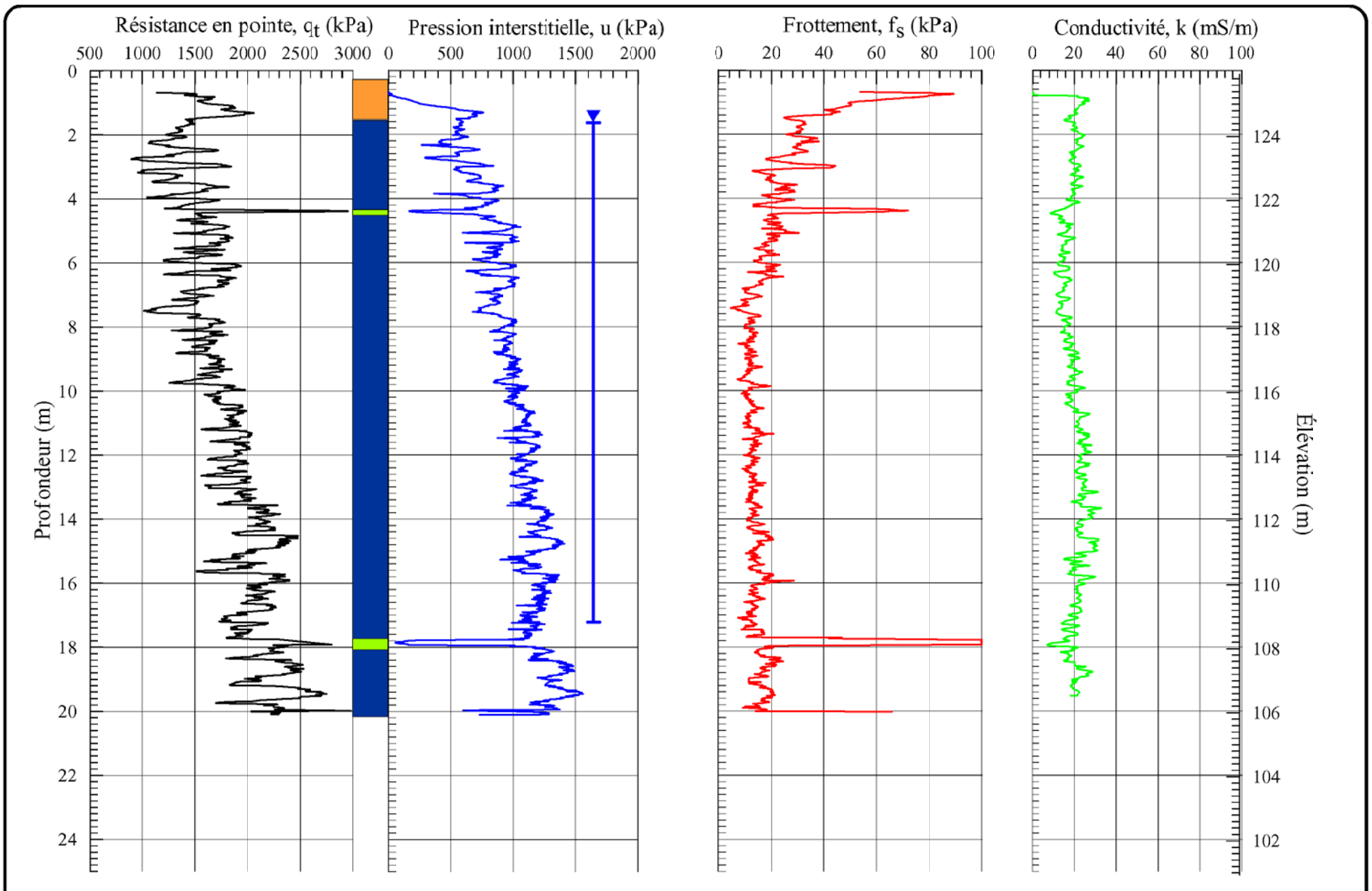
Dossier no: 1050245

RAPPORT DE PIÉZOCÔNE

Réalisé par:
 Marc Munger, B.ing.
 Date: 2002-10-24

Sondage no: **cptu-15a**

Figure: **1.15a**



Profondeur initiale : 0,68 m
 Profondeur finale : 20,12 m
 Vitesse de fonçage : 60 cm/min
 Incrément de mesure : 1,0 cm
 Piézocône : 796TC

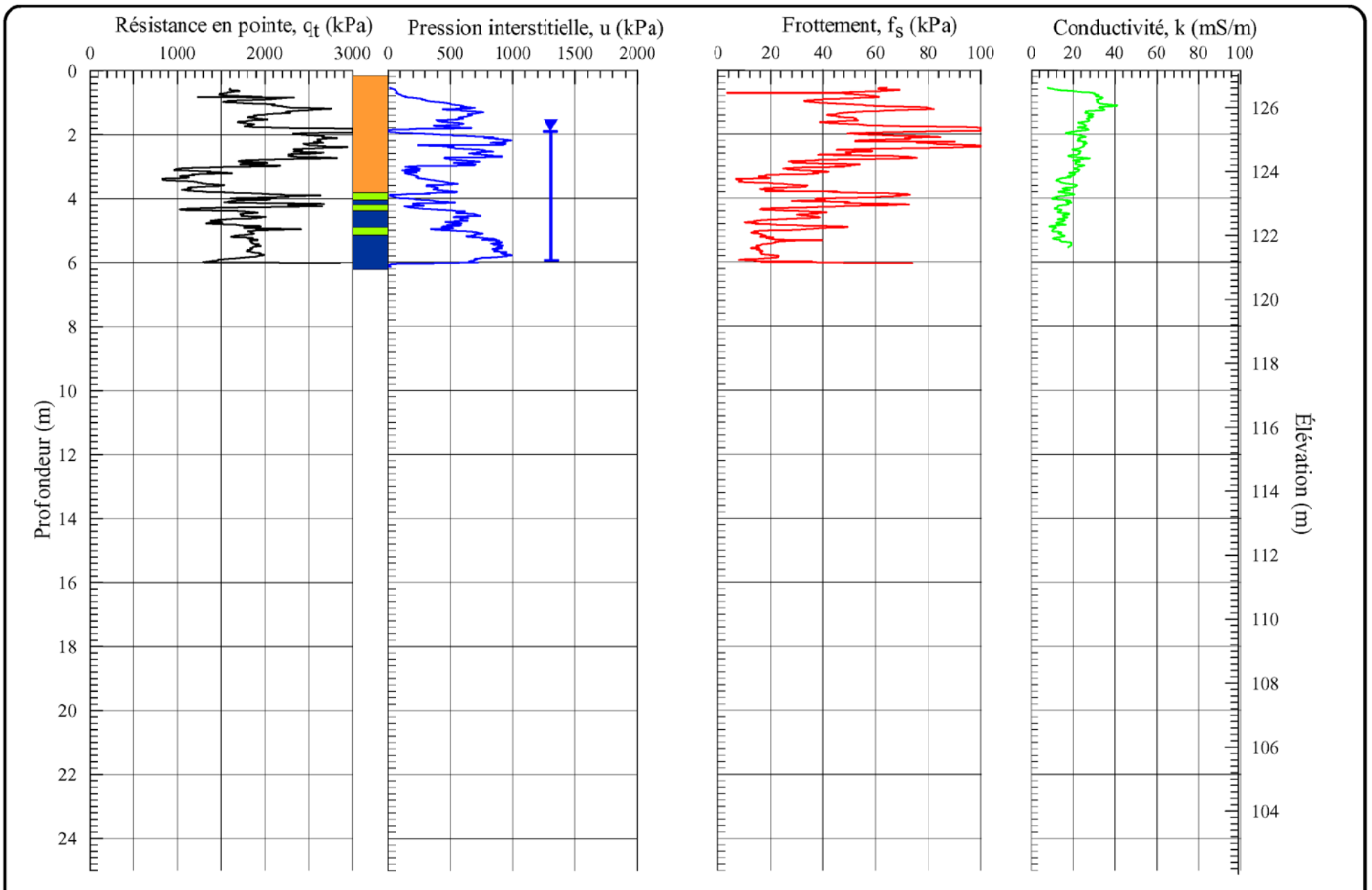
Proj et: Étude de caractérisation environnementale,
 cellules de brasques.

Dossier no: 1050245

RAPPORT DE PIÉZOCÔNE

Réalisé par:
 Marc Munger, B.ing.
 Date: 2002-11-08

Sondage no: **cptu-16**
 Figure: **1.16**



Profondeur initiale : 0,55 m
 Profondeur finale : 6,14 m
 Vitesse de forçage : 60 cm/min
 Incrément de mesure : 1,0 cm
 Piézocône : 796TC

Projet: Étude de caractérisation environnementale,
 cellules de brasques.

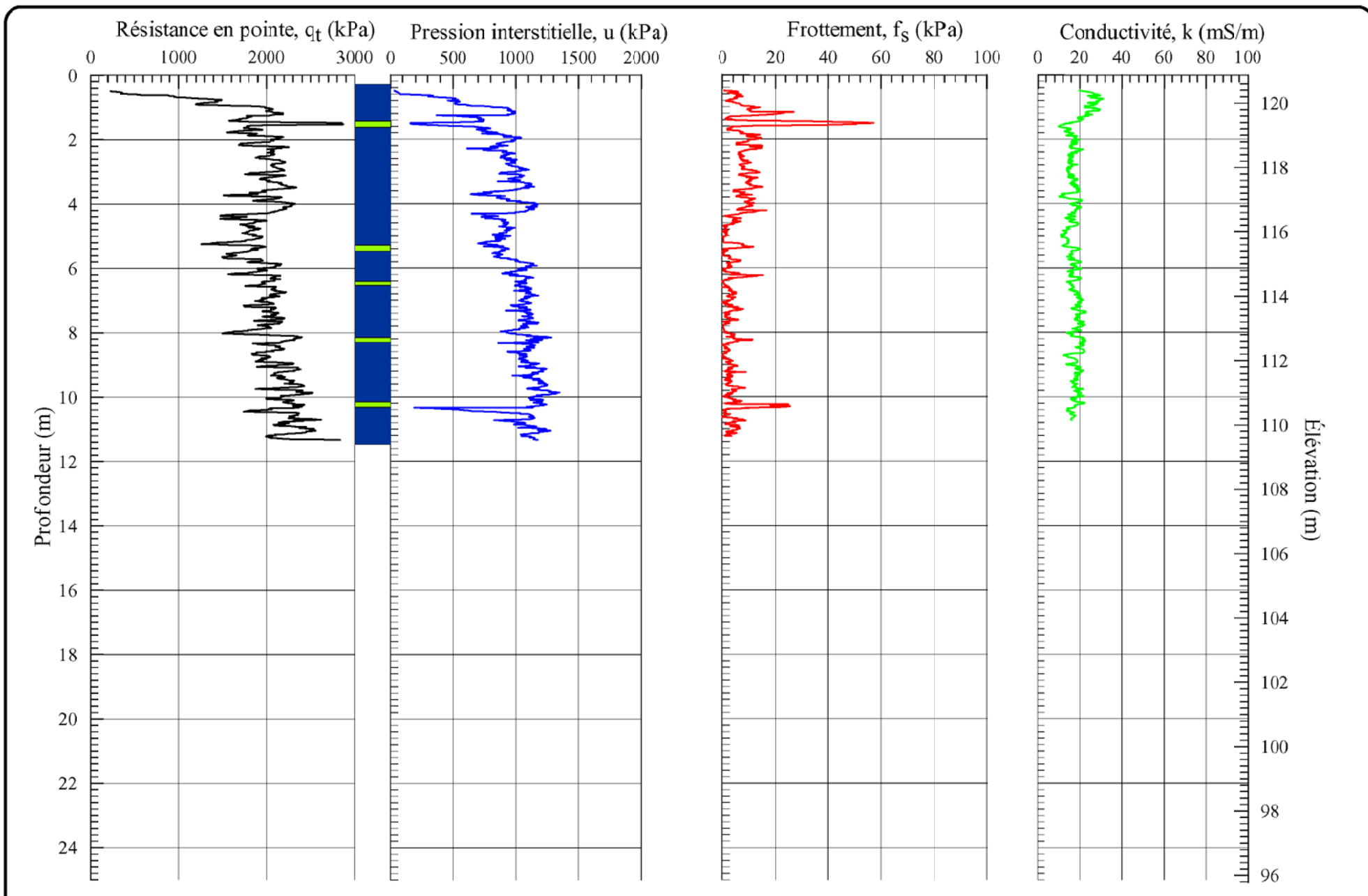
Dossier no: 1050245

RAPPORT DE PIÉZOCÔNE

Réalisé par: Marc Munger, B.ing.
 Date: 2002-11-08

Sondage no: **cptu-17**

Figure: **1.17**



Profondeur initiale : 0,49 m
 Profondeur finale : 11,33 m
 Vitesse de fonçage : 60 cm/min
 Incrément de mesure : 1,0 cm
 Piézocône : 796TC

Proj et:

Étude de caractérisation environnementale,
cellules de brasques.

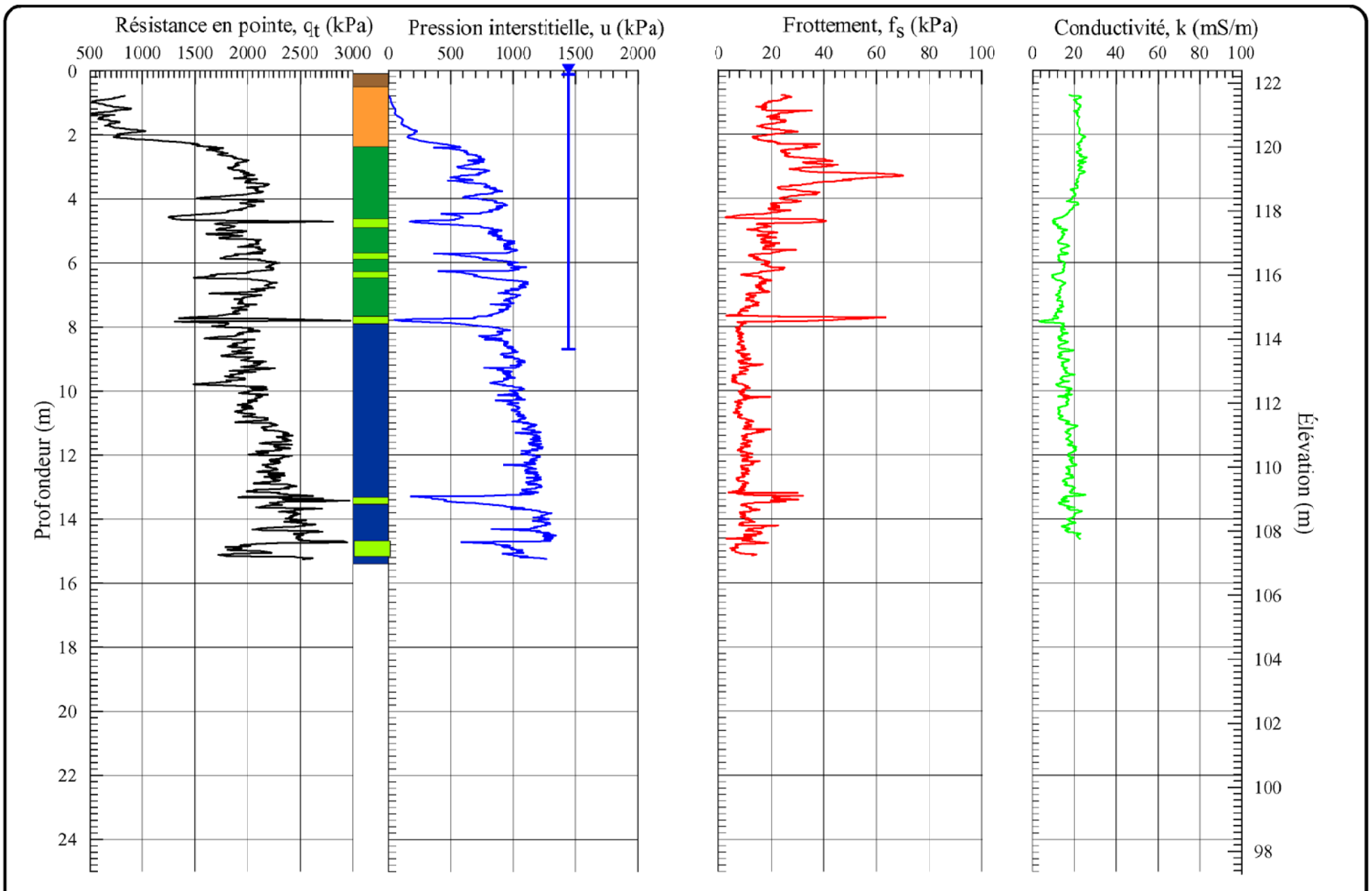
Dossier no: 1050245

RAPPORT DE PIÉZOCÔNE

Réalisé par:
 Marc Munger, B.ing.
 Date: 2002-11-08

Sondage no: **cptu-18**

Figure: **1.18**



Profondeur initiale : 0,78 m
 Profondeur finale : 15,25 m
 Vitesse de forçage : 60 cm/min
 Incrément de mesure : 1,0 cm
 Piézocône : 796TC

Proj et:

Étude de caractérisation environnementale, cellules de brasques.

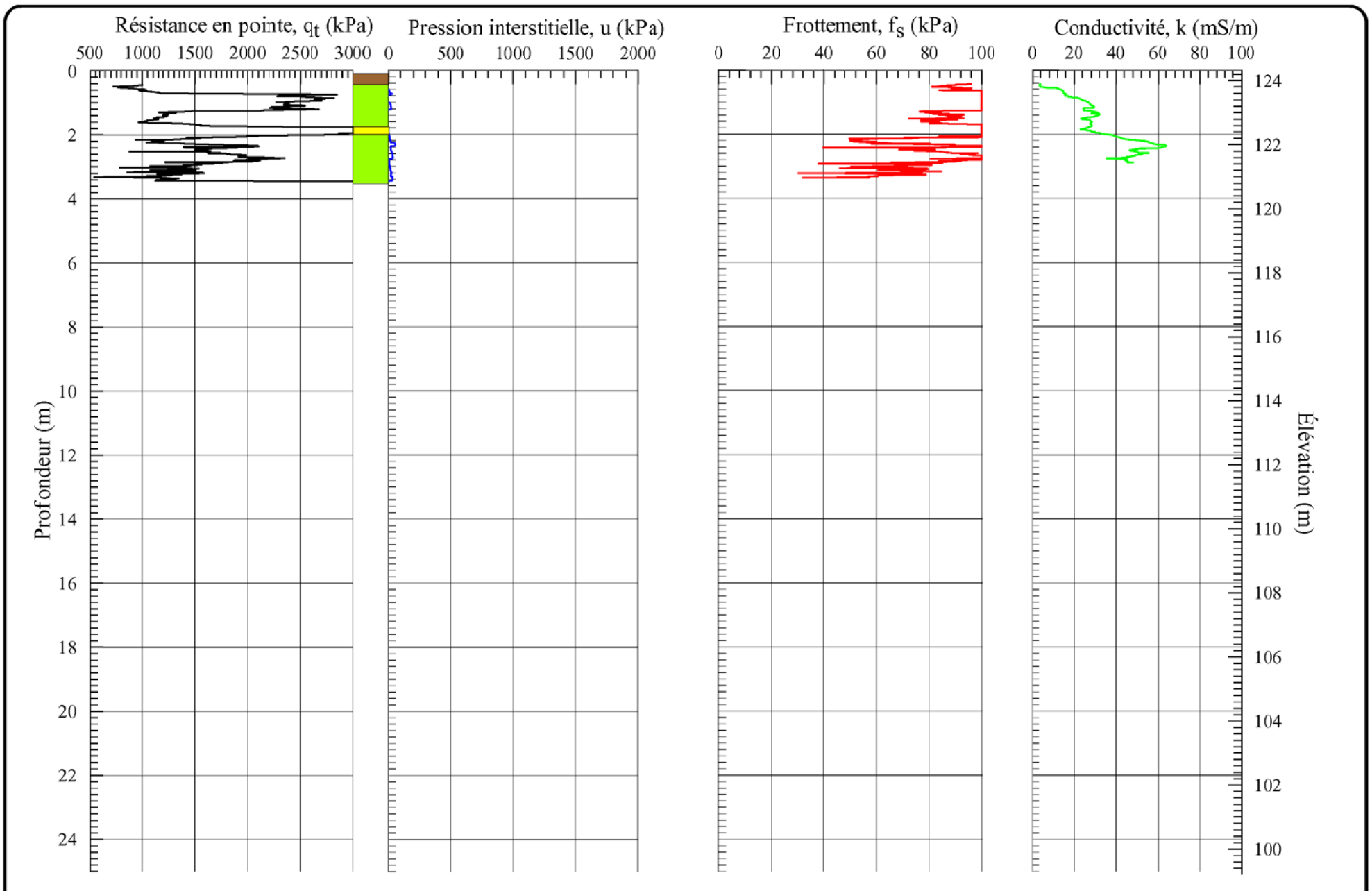
Dossier no: 1050245

RAPPORT DE PIÉZOCÔNE

Réalisé par:
 Marc Munger, B.ing.
 Date: 2002-11-11

Sondage no: **cptu-19**

Figure: **1.19**



Profondeur initiale : 0,44m
 Profondeur finale : 3,46 m
 Vitesse de fonçage : 60 cm/min
 Incrément de mesure : 1,0 cm
 Piézocône : 796TC

Projet:

Étude de caractérisation environnementale,
cellules de brasques.

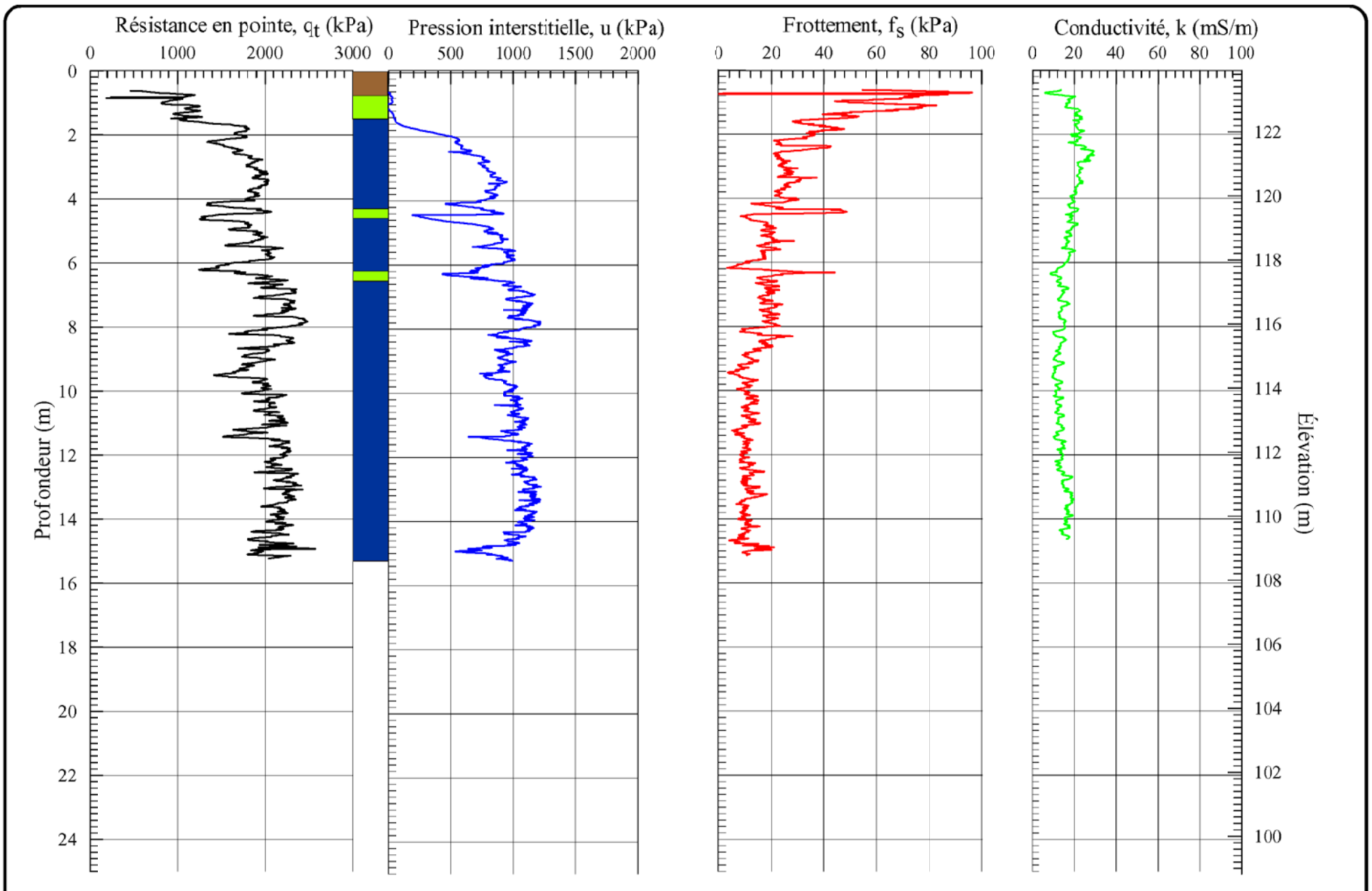
Dossier no: 1050245

RAPPORT DE PIÉZOCÔNE

Réalisé par:
 Marc Munger, B.ing.
 Date: 2002-11-11

Sondage no: **cptu-20**

Figure: **1.20**



Profondeur initiale : 0,62 m
 Profondeur finale : 15,23 m
 Vitesse de fonçage : 60 cm/min
 Incrément de mesure : 1,0 cm
 Piézocône : 796TC

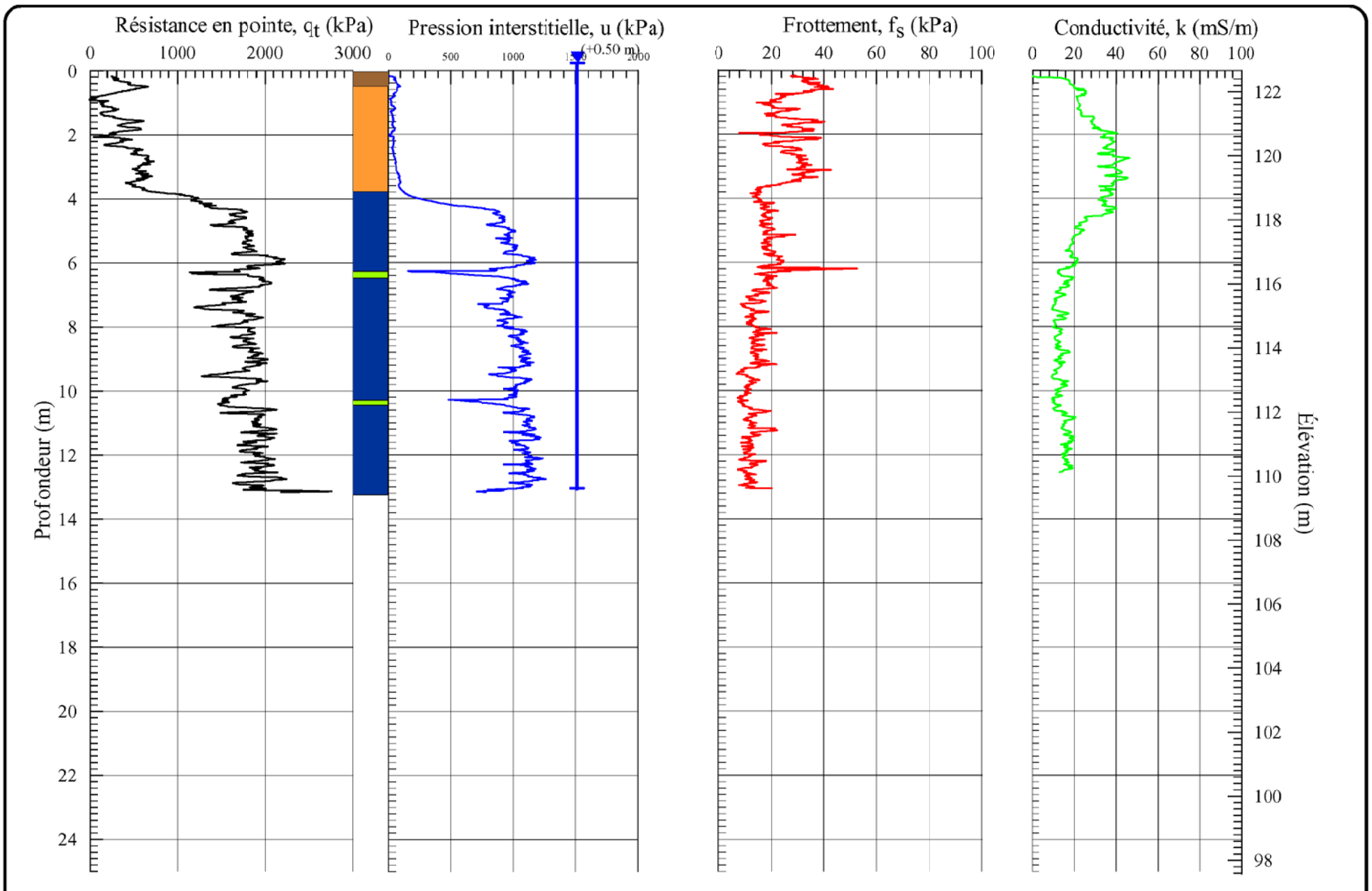
Proj et: Étude de caractérisation environnementale,
 cellules de brasques.

Dossier no: 1050245

RAPPORT DE PIÉZOCÔNE

Réalisé par:
 Marc Munger, B.ing.
 Date: 2002-11-11

Sondage no: **cptu-21**
 Figure: **1.21**



Profondeur initiale : 0,17 m
 Profondeur finale : 13,16 m
 Vitesse de fonçage : 60 cm/min
 Incrément de mesure : 1,0 cm
 Piézocône : 796TC

Projet: Étude de caractérisation environnementale,
 cellules de brasques.

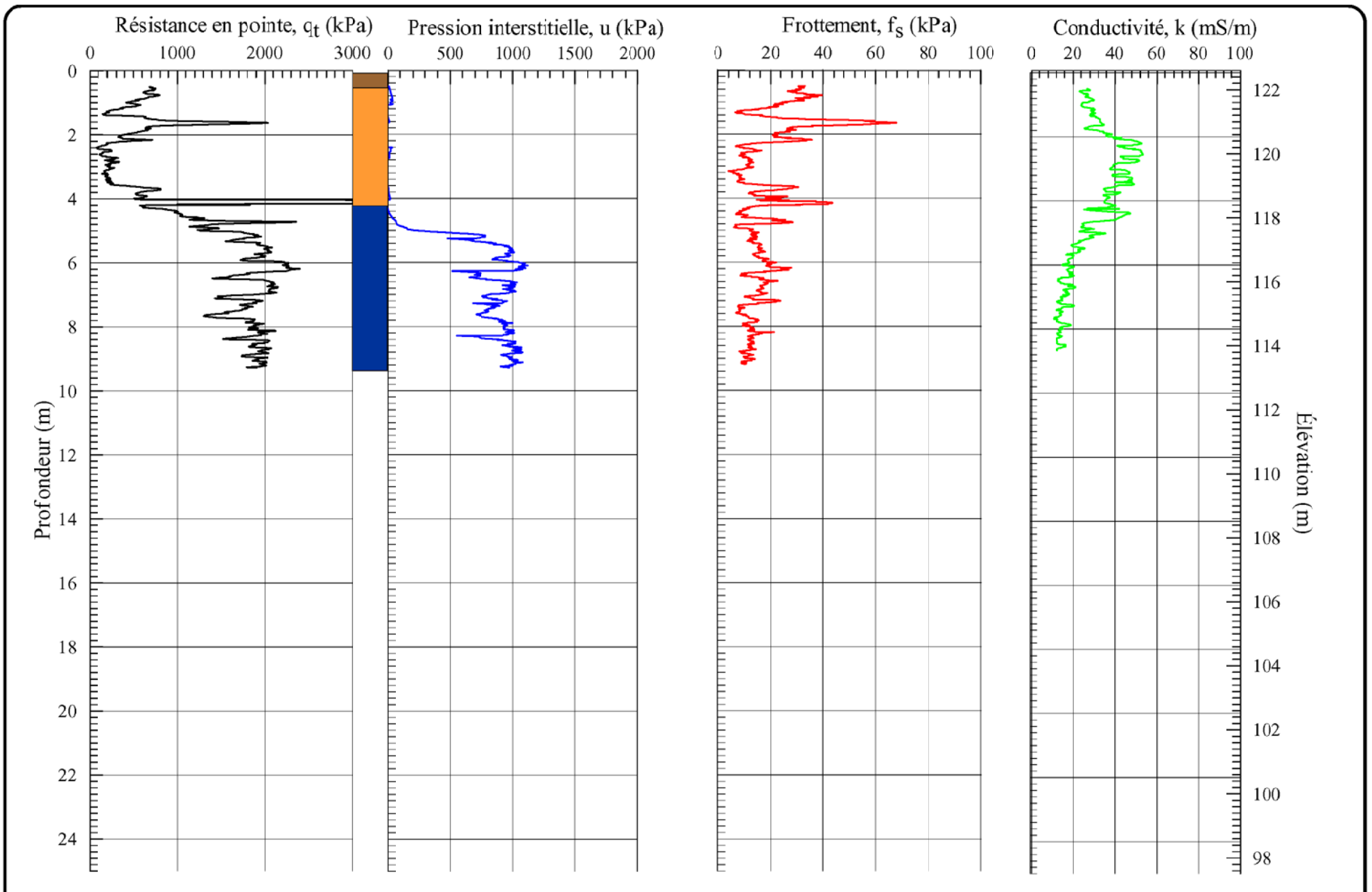
Dossier no: 1050245

RAPPORT DE PIÉZOCÔNE

Réalisé par:
 Marc Munger, B.ing.
 Date: 2002-11-12

Sondage no: **cptu-22**

Figure: **1.22**



Profondeur initiale : 0,50 m
 Profondeur finale : 9,28 m
 Vitesse de fonçage : 60 cm/min
 Incrément de mesure : 1,0 cm
 Piézocône : 796TC

Projet:

Étude de caractérisation environnementale,
cellules de brasques.

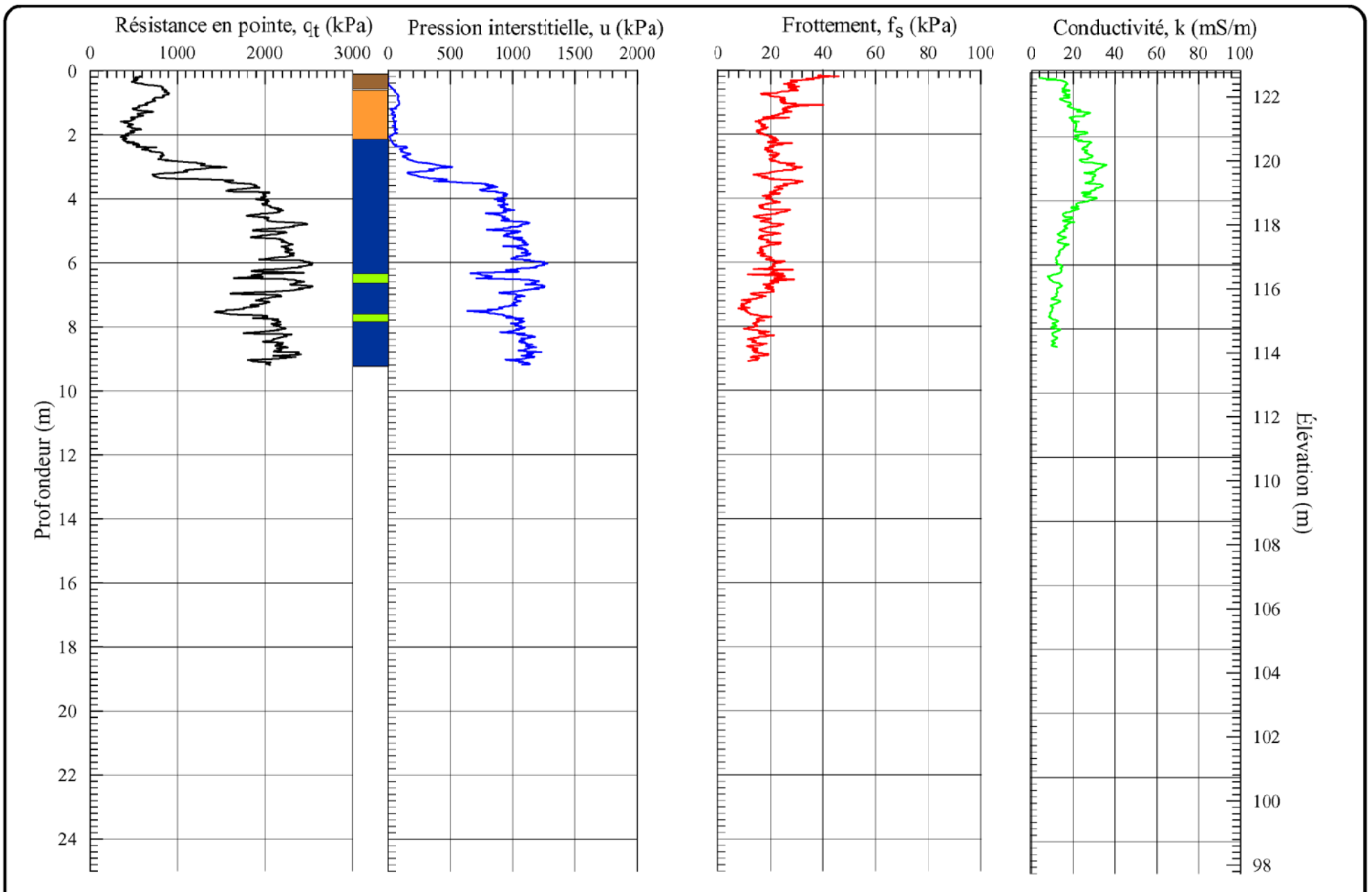
Dossier no: 1050245

RAPPORT DE PIÉZOCÔNE

Réalisé par:
 Marc Munger, B.ing.
 Date: 2002-11-12

Sondage no: **cptu-23**

Figure: **1.23**



Profondeur initiale : 0,16 m
 Profondeur finale : 9,19 m
 Vitesse de fonçage : 60 cm/min
 Incrément de mesure : 1,0 cm
 Piézocône : 796TC

Projet:

Étude de caractérisation environnementale,
cellules de brasques.

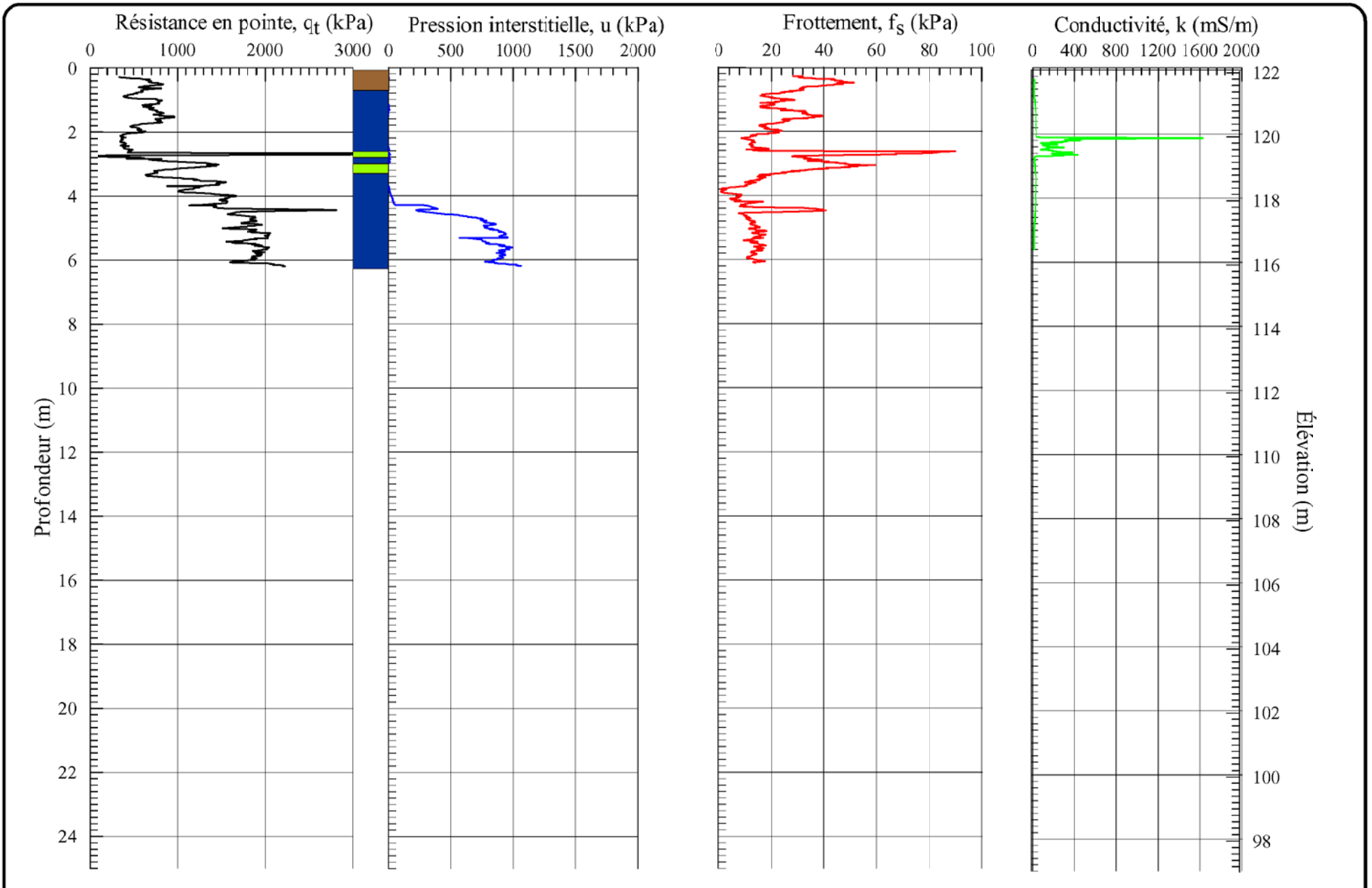
Dossier no: 1050245

RAPPORT DE PIÉZOCÔNE

Réalisé par:
 Marc Munger, B.ing.
 Date: 2002-11-12

Sondage no: **cptu-24**

Figure: **1.24**



Profondeur initiale : 0,28 m
 Profondeur finale : 6,20 m
 Vitesse de fonçage : 60 cm/min
 Incrément de mesure : 1,0 cm
 Piézocône : 796TC

Projet: Étude de caractérisation environnementale,
 cellules de brasques.

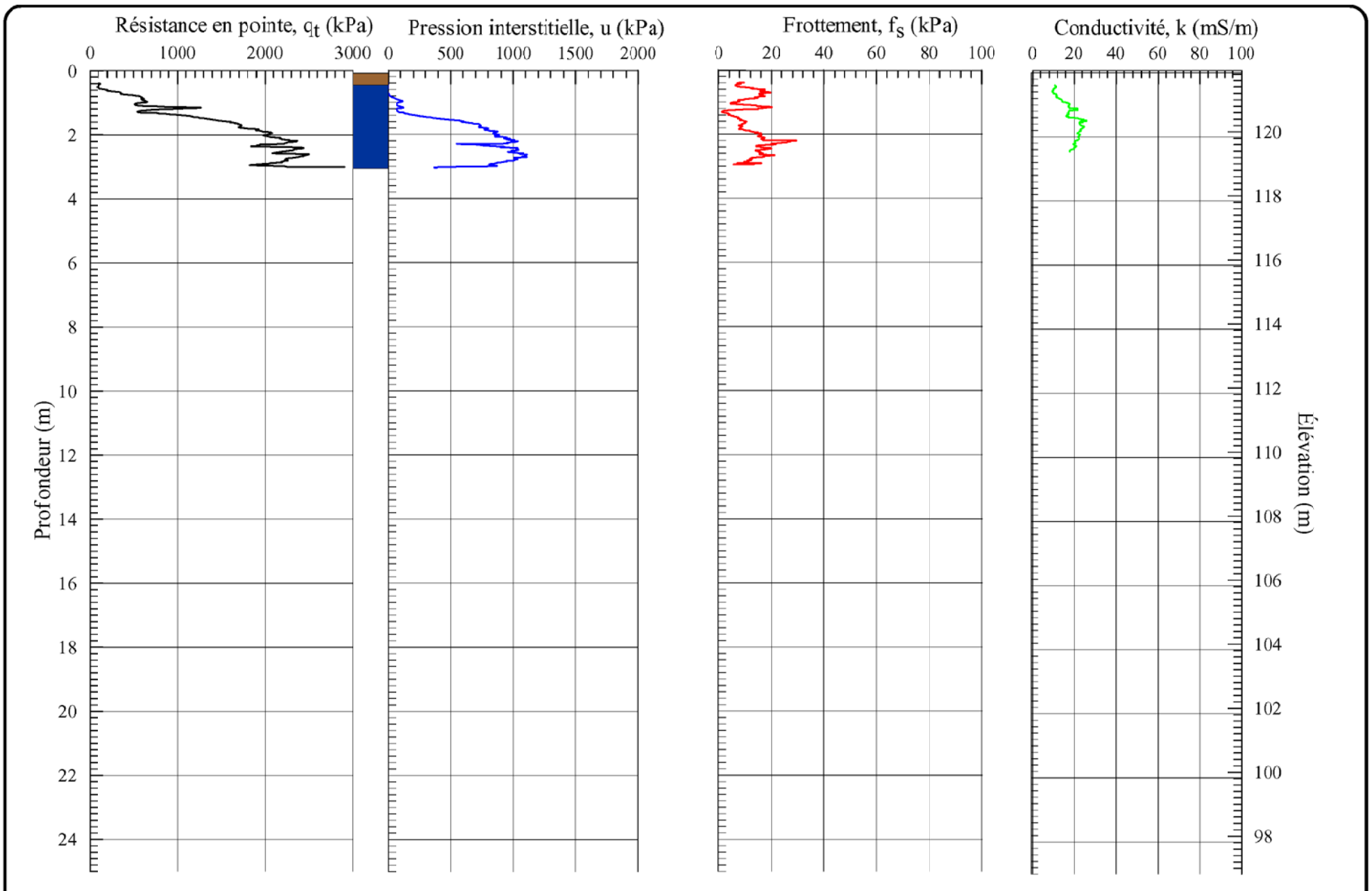
Dossier no: 1050245

RAPPORT DE PIÉZOCÔNE

Réalisé par:
 Marc Munger, B.ing.
 Date: 2002-11-13

Sondage no: **cptu-25**

Figure: **1.25**



Profondeur initiale : 0,39 m
 Profondeur finale : 3,05 m
 Vitesse de fonçage : 60 cm/min
 Incrément de mesure : 1,0 cm
 Piézocône : 796TC

Projet: Étude de caractérisation environnementale,
 cellules de brasques.

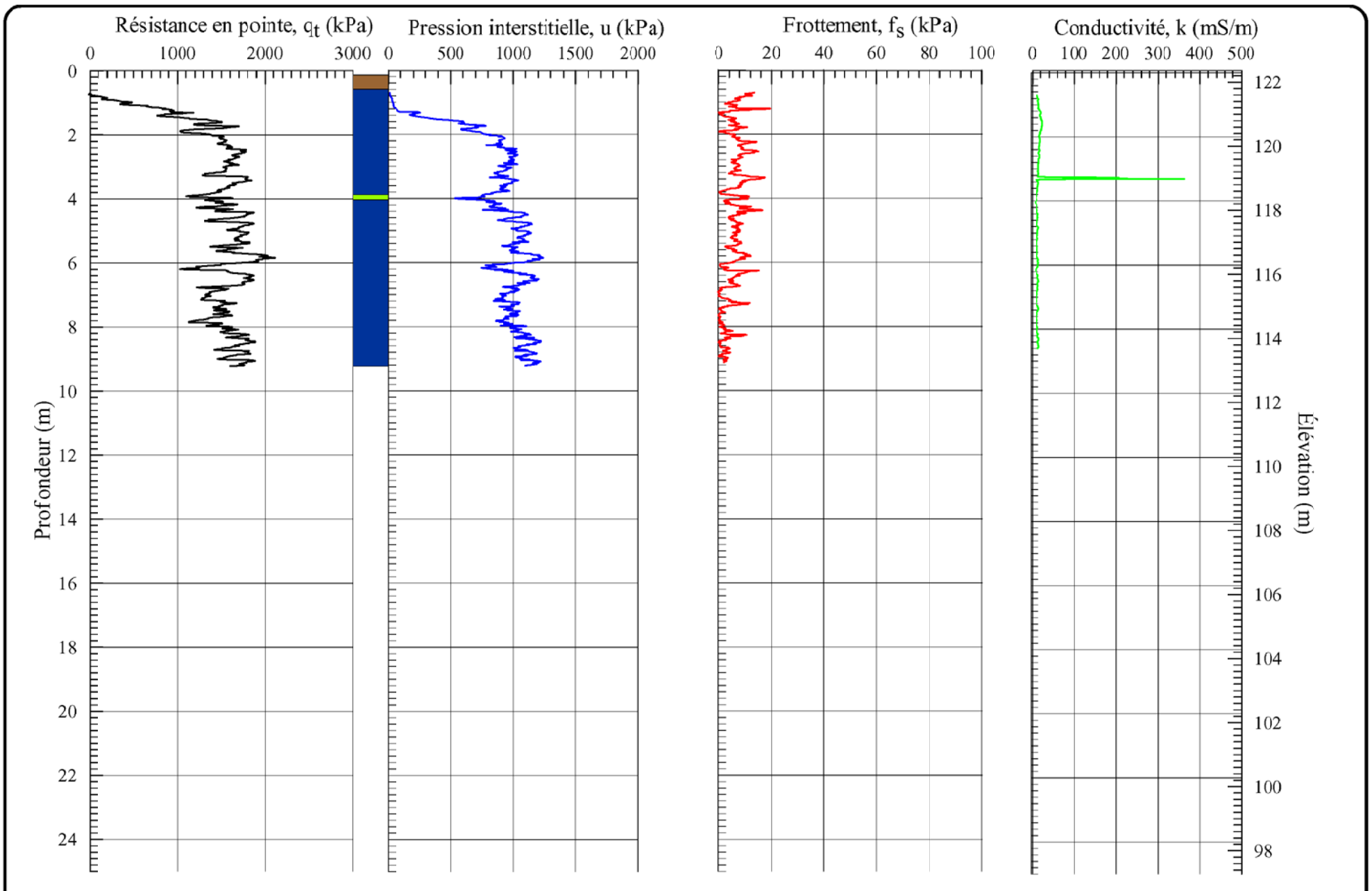
Dossier no: 1050245

RAPPORT DE PIÉZOCÔNE

Réalisé par:
 Marc Munger, B.ing.
 Date: 2002-11-13

Sondage no: **cptu-26**

Figure: **1.26**



Profondeur initiale : 0,70 m
 Profondeur finale : 9,22 m
 Vitesse de fonçage : 60 cm/min
 Incrément de mesure : 1,0 cm
 Piézocône : 796TC

Projet:

Étude de caractérisation environnementale, cellules de brasques.

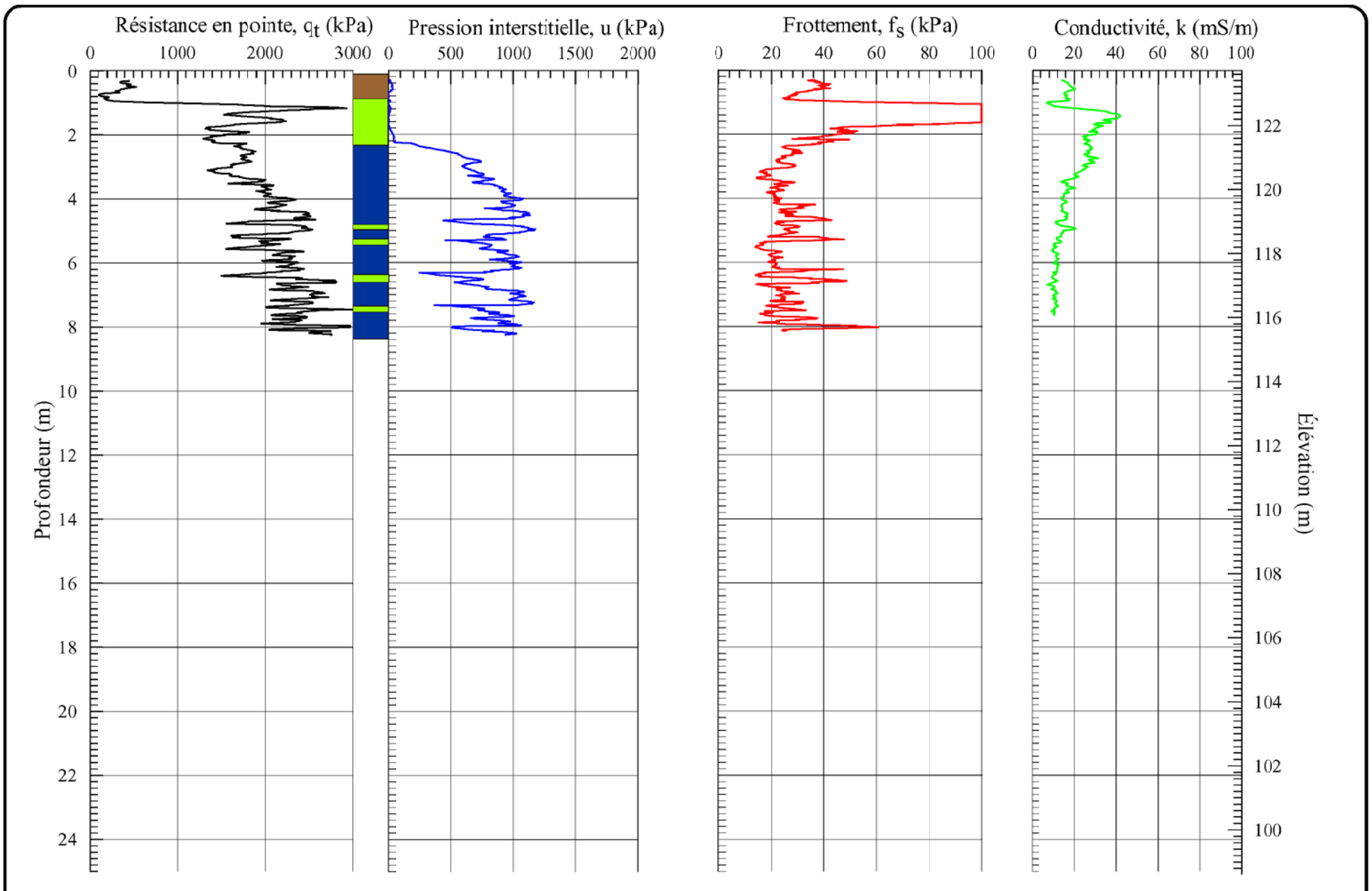
Dossier no: 1050245

RAPPORT DE PIÉZOCÔNE

Réalisé par:
 Marc Munger, B.ing.
 Date: 2002-11-13

Sondage no: **cptu-27**

Figure: **1.27**



Profondeur initiale : 0,30 m
 Profondeur finale : 8,25 m
 Vitesse de fonçage : 60 cm/min
 Incrément de mesure : 1,0 cm
 Piézocône : 796TC

Projet: Étude de caractérisation environnementale,
 cellules de brasques.

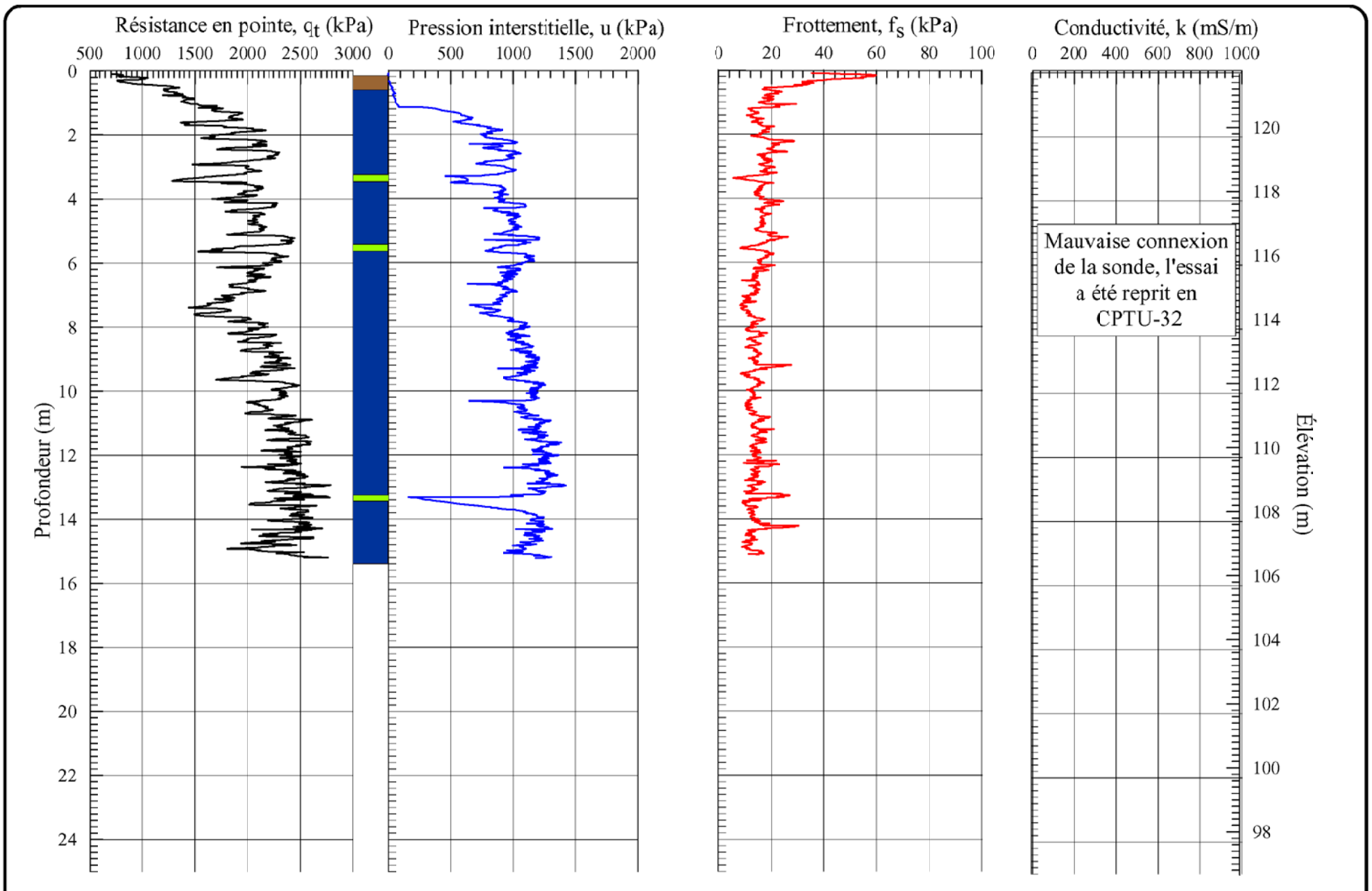
Dossier no: 1050245

RAPPORT DE PIÉZOCÔNE

Réalisé par:
 Marc Munger, B.ing.
 Date: 2002-11-13

Sondage no: **cptu-28**

Figure: **1.28**



Profondeur initiale : 0,09 m
 Profondeur finale : 15,23 m
 Vitesse de fonçage : 60 cm/min
 Incrément de mesure : 1,0 cm
 Piézocône : 796TC

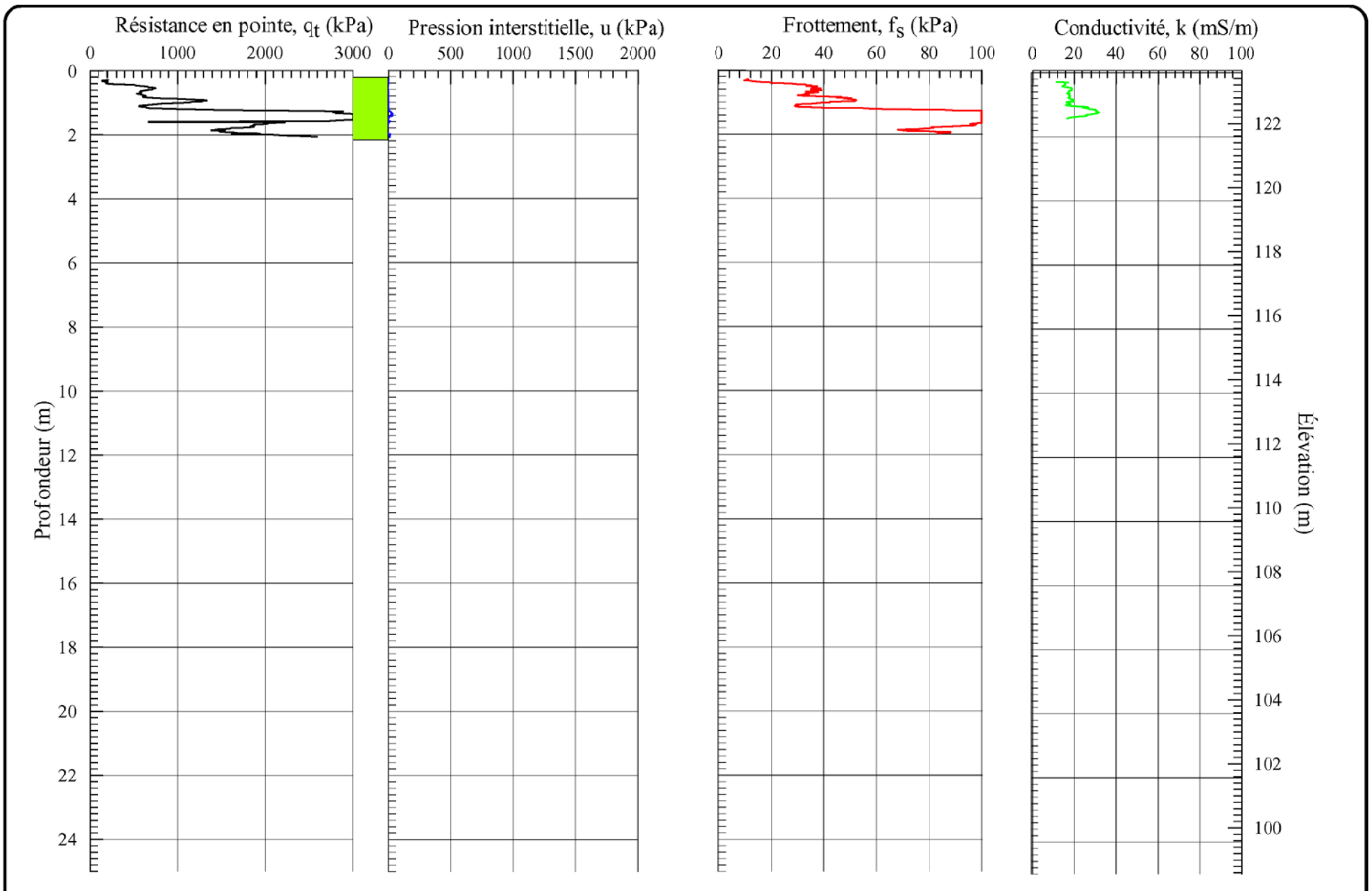
Proj et : Étude de caractérisation environnementale,
 cellules de brasques.

Dossier no: 1050245

RAPPORT DE PIÉZOCÔNE

Réalisé par : Marc Munger, B.ing.
 Date: 2002-11-13

Sondage no: **cptu-29**
 Figure: **1.29**



Profondeur initiale : 0,28 m
 Profondeur finale : 2,08 m
 Vitesse de fonçage : 60 cm/min
 Incrément de mesure : 1,0 cm
 Piézocône : 796TC

Projet: Étude de caractérisation environnementale,
 cellules de brasques.

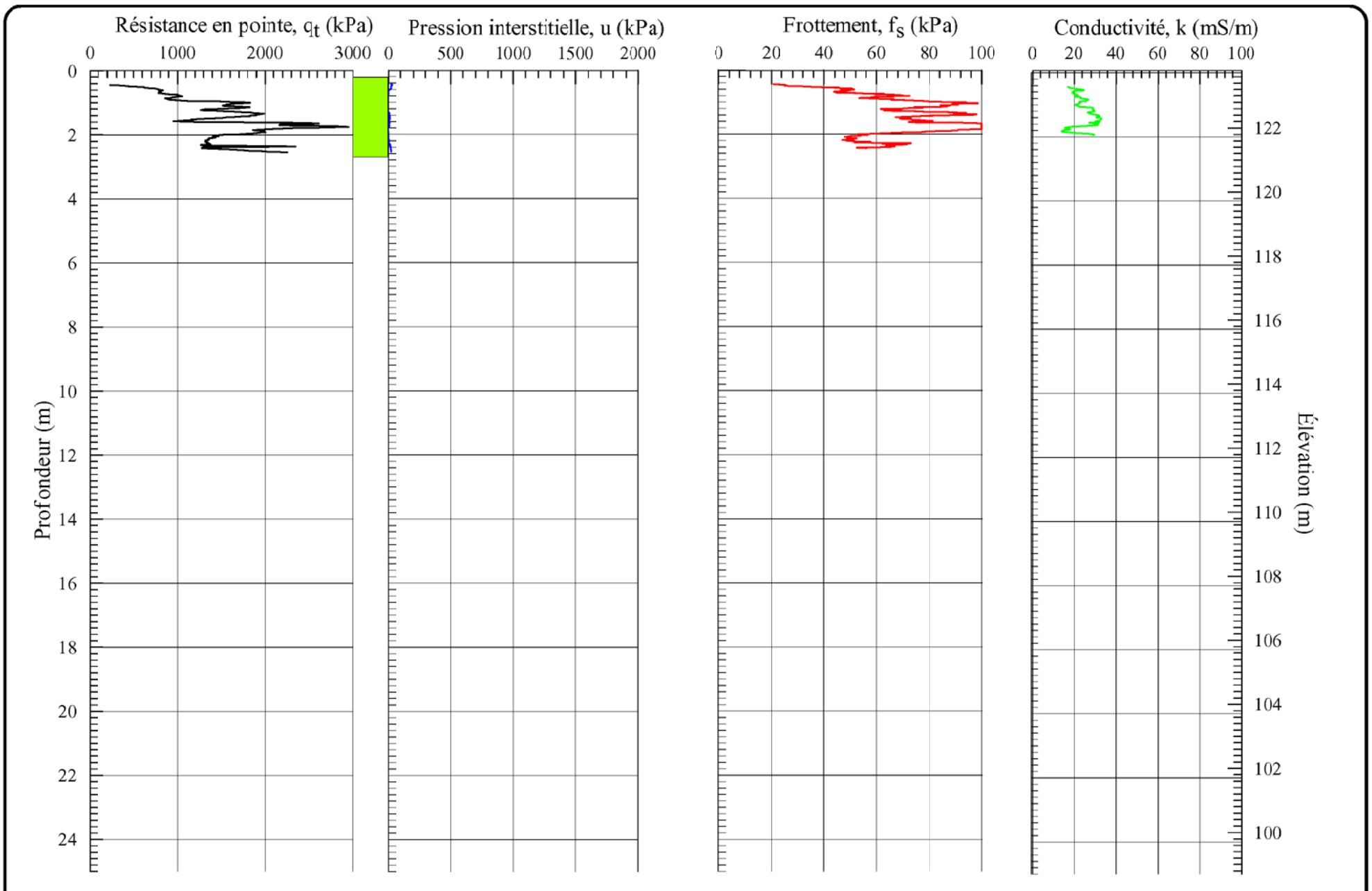
Dossier no: 1050245

RAPPORT DE PIÉZOCÔNE

Réalisé par:
 Marc Munger, B.ing.
 Date: 2002-11-14

Sondage no: **cptu-30**

Figure: **1.30**



Profondeur initiale : 0,44 m
 Profondeur finale : 2,54 m
 Vitesse de fonçage : 60 cm/min
 Incrément de mesure : 1,0 cm
 Piézocône : 796TC

Projet: Étude de caractérisation environnementale,
 cellules de brasques.

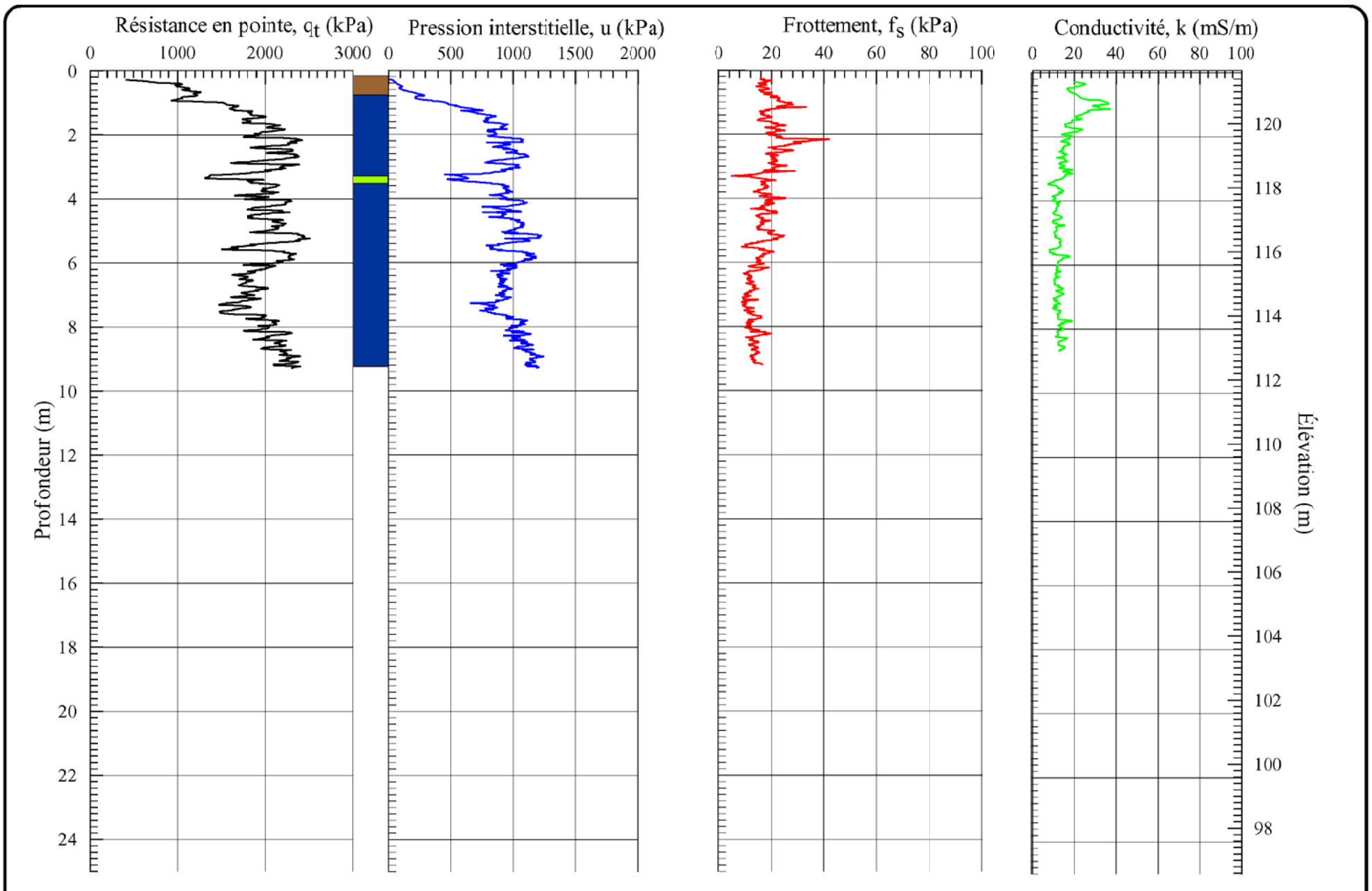
Dossier no: 1050245

RAPPORT DE PIÉZOCÔNE

Réalisé par:
 Marc Munger, B.ing.
 Date: 2002-11-14

Sondage no: **cptu-31**

Figure: **1.31**



Profondeur initiale : 0,28 m
 Profondeur finale : 9,28 m
 Vitesse de fonçage : 60 cm/min
 Incrément de mesure : 1,0 cm
 Piézocône : 796TC

Projet: Étude de caractérisation environnementale,
 cellules de brasques.

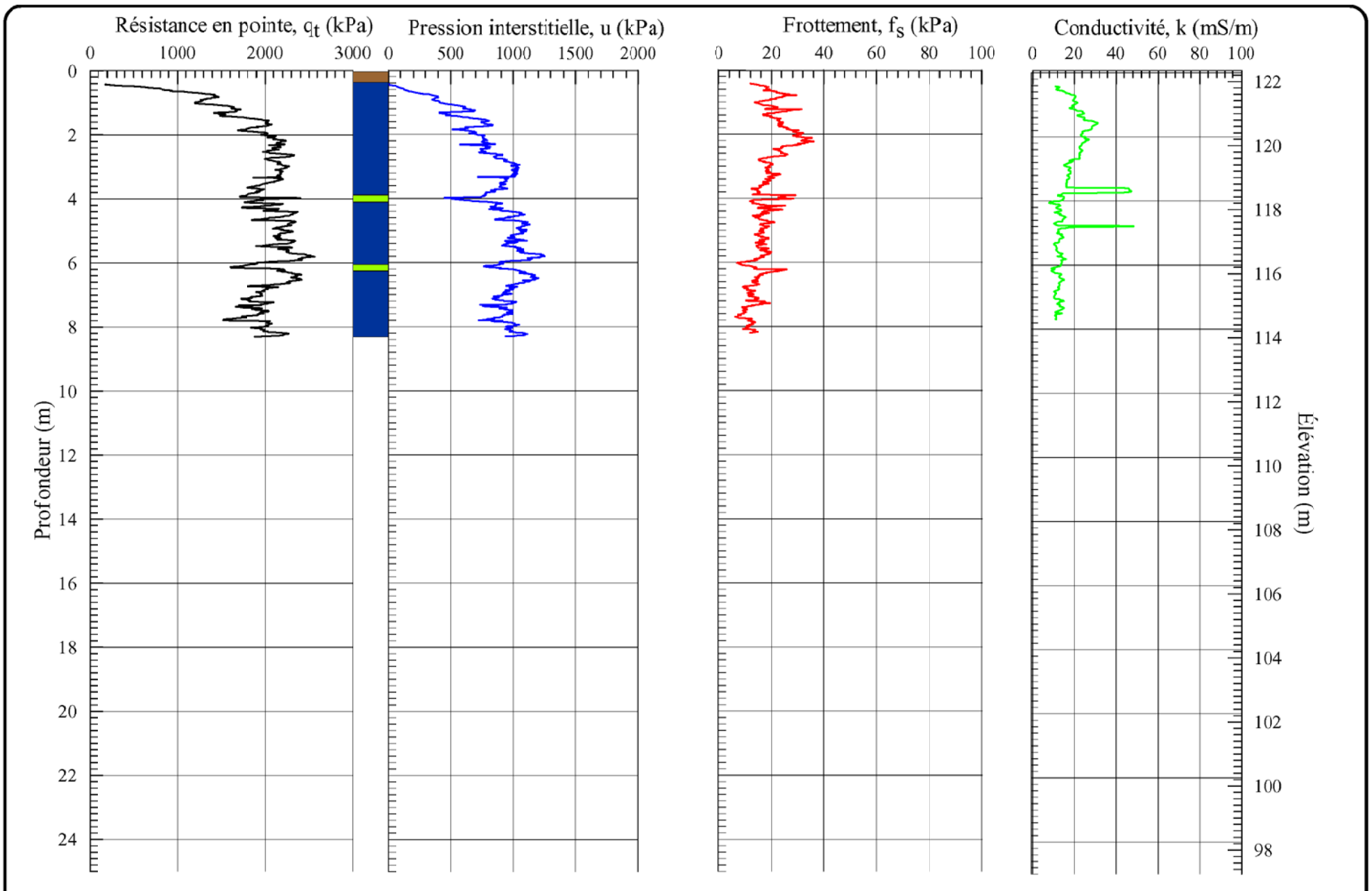
Dossier no: 1050245

RAPPORT DE PIÉZOCÔNE

Réalisé par:
 Marc Munger, B.ing.
 Date: 2002-11-14

Sondage no: **cptu-32**

Figure: **1.32**



Profondeur initiale : 0,42 m
 Profondeur finale : 8,30 m
 Vitesse de fonçage : 60 cm/min
 Incrément de mesure : 1,0 cm
 Piézocône : 796TC

Projet: Étude de caractérisation environnementale,
 cellules de brasques.

Dossier no: 1050245

RAPPORT DE PIÉZOCÔNE

Réalisé par:
 Marc Munger, B.ing.
 Date: 2002-11-14

Sondage no: **cptu-33**

Figure: **1.33**